



Universidade Federal de Ouro Preto  
Escola de Minas  
CECAU - Colegiado do Curso de  
Engenharia de Controle e Automação



Douglas Meneses Barbosa

## **SIMULADOR WEB PARA CONSTRUÇÃO E EXECUÇÃO INTERATIVA DE REDES DE PETRI**

Monografia de Graduação

Ouro Preto, 2025

Douglas Meneses Barbosa

# **SIMULADOR WEB PARA CONSTRUÇÃO E EXECUÇÃO INTERATIVA DE REDES DE PETRI**

Trabalho apresentado ao Colegiado do Curso de Engenharia de Controle e Automação da Universidade Federal de Ouro Preto como parte dos requisitos para a obtenção do Grau de Engenheiro de Controle e Automação.

Universidade Federal de Ouro Preto

Orientador: Prof. Dr. Danny Augusto Vieira Tonidandel

Ouro Preto

2025



MINISTÉRIO DA EDUCAÇÃO  
UNIVERSIDADE FEDERAL DE OURO PRETO  
REITORIA  
ESCOLA DE MINAS  
DEPARTAMENTO DE ENGENHARIA CONTROLE E  
AUTOMACAO



**FOLHA DE APROVAÇÃO**

Douglas Meneses Barbosa

**Simulador Web para Construção e Execução Interativa de Redes de Petri**

Monografia apresentada ao Curso de Engenharia de Controle e Automação da Universidade Federal de Ouro Preto como requisito parcial para obtenção do título de Bacharel em Engenharia de Controle e Automação

Aprovado em 05 de setembro de 2025.

Integrantes da banca

[Doutor] - Danny Augusto Vieira Tonidandel - Orientador (Universidade Federal de Ouro Preto)

[Doutora] - Adrielle de Carvalho Santanna - (Universidade Federal de Ouro Preto)

[Mestre] - Cristiano Luis Turbino de França e Silva - (Universidade Federal de Ouro Preto)

Danny Augusto Vieira Tonidandel, coorientador do trabalho, aprovou a versão final e autorizou seu depósito na Biblioteca Digital de Trabalhos de Conclusão de Curso da UFOP em 05/09/2025.



Documento assinado eletronicamente por **Danny Augusto Vieira Tonidandel, PROFESSOR DE MAGISTERIO SUPERIOR**, em 05/09/2025, às 20:22, conforme horário oficial de Brasília, com fundamento no art. 6º, § 1º, do [Decreto nº 8.539, de 8 de outubro de 2015](#).



A autenticidade deste documento pode ser conferida no site [http://sei.ufop.br/sei/controlador\\_externo.php?acao=documento\\_conferir&id\\_orgao\\_acesso\\_externo=0](http://sei.ufop.br/sei/controlador_externo.php?acao=documento_conferir&id_orgao_acesso_externo=0), informando o código verificador **0971972** e o código CRC **3C89A526**.

Referência: Caso responda este documento, indicar expressamente o Processo nº 23109.011237/2025-70

SEI nº 0971972

R. Diogo de Vasconcelos, 122, - Bairro Pilar Ouro Preto/MG, CEP 35402-163  
Telefone: 3135591533 - [www.ufop.br](http://www.ufop.br)

# Agradecimentos

A realização deste trabalho não teria sido possível sem o apoio e incentivo de pessoas fundamentais ao longo da minha trajetória acadêmica, profissional e pessoal.

Agradeço, em primeiro lugar, aos meus pais, João e Conceição, por todo o amor, apoio incondicional e pelos valores que me ensinaram e que me trouxeram até aqui. Sua dedicação e confiança foram essenciais para que eu pudesse trilhar este caminho com perseverança.

Aos meus amigos que estiveram comigo durante os anos vividos em Ouro Preto, deixo minha profunda gratidão pelos momentos compartilhados, pelas conversas, pelo companheirismo e pelo apoio mútuo nas dificuldades e conquistas. Ter estado ao lado de pessoas tão especiais tornou essa jornada mais leve e significativa.

Também, à minha namorada Letícia, agradeço por todo o carinho, paciência e incentivo nos momentos mais desafiadores durante toda a jornada de desenvolvimento desse trabalho. Sua presença, conselhos e incentivos foram essenciais para a conclusão desse trabalho.

Ao professor Danny, meu orientador, registro meus sinceros agradecimentos pela orientação dedicada, pelas sugestões valiosas e pela confiança no desenvolvimento deste trabalho.

Por fim, agradeço à Universidade Federal de Ouro Preto (UFOP), pela formação acadêmica de excelência, pelo ambiente de aprendizado e pelas oportunidades que me foram oferecidas ao longo dos anos. Esta instituição teve papel fundamental na construção do meu percurso como estudante e futuro profissional.

A todos, meu muito obrigado.

*Tudo parece impossível até que  
seja feito.*

---

— Nelson Mandela.

# Resumo

As Redes de Petri são um formalismo matemático utilizado na modelagem de sistemas a eventos discretos. Este trabalho tem como objetivo o desenvolvimento de um simulador web de redes de Petri, com foco em acessibilidade por meio do navegador. A ferramenta desenvolvida foi implementada com tecnologias de *frontend* (HTML, CSS e JavaScript) e permite a criação e simulação das redes diretamente no navegador. Entre as funcionalidades disponíveis estão: criação de lugares, transições e arcos; movimentação livre dos componentes na tela; exclusão dos elementos criados e da rede por completo; manipulação via eventos JavaScript; salvamento e carregamento das redes em arquivos no formato JSON; e simulação das redes de Petri desenvolvidas. O projeto utilizou Git para controle de versão e foi disponibilizado na web por meio da plataforma Netlify. Para versões futuras, estão previstas melhorias na interface, como a inclusão de orientações interativas e melhoria no design dos elementos HTML, além de suporte a redes de Petri temporizadas, coloridas e estocásticas, autenticação de usuários e armazenamento persistente das redes criadas em um banco de dados.

**Palavras-chaves:** Redes de Petri. Desenvolvimento Web. Modelagem de Sistemas. Simulação. HTML. CSS. JavaScript. Git.

# Abstract

Petri Nets are a mathematical formalism used for modeling discrete event systems. This work aims to develop a web-based Petri Net simulator focused on accessibility through the browser. The developed tool was implemented using frontend technologies (HTML, CSS, and JavaScript) and allows the creation and simulation of Petri Nets directly in the browser. Available features include the creation of places, transitions, and arcs; free movement of components on the screen; deletion of individual elements or the entire network; manipulation via JavaScript events; saving and loading networks in JSON format; and simulation of the created Petri Nets. The project utilized Git for version control and was deployed on the web via the Netlify platform. Future versions plan to include interface improvements such as interactive guidance and enhanced design of HTML elements, as well as support for timed, colored, and stochastic Petri Nets, user authentication, and persistent storage of created networks in a database.

**Key-words:** Petri Nets. Web Development. System Modeling. Simulation. HTML. CSS. JavaScript. Git.

# Lista de ilustrações

Figura 1 – Exemplo de diagrama de fluxo . . . . .	14
Figura 2 – Rede de Petri Simples - Parte 1 . . . . .	17
Figura 3 – Rede de Petri Simples - Parte 2 . . . . .	18
Figura 4 – Rede de Petri Simples - Parte 3 . . . . .	18
Figura 5 – Embalamento e venda de fardos de garrafas por meio de redes de Petri	19
Figura 6 – Cores dos tipos de transição . . . . .	20
Figura 7 – Rede de Petri Temporizada - Estágio 1 . . . . .	20
Figura 8 – Rede de Petri Temporizada - Estágio 2 . . . . .	21
Figura 9 – Rede de Petri Temporizada - Estágio 3 . . . . .	21
Figura 10 – Rede de Petri Colorida . . . . .	22
Figura 11 – Rede de Petri Estocástica . . . . .	23
Figura 12 – Interface do simulador PIPE . . . . .	26
Figura 13 – Repositório no Github do PIPE . . . . .	27
Figura 14 – Interface do simulador APO . . . . .	27
Figura 15 – Repositório no Github do APO . . . . .	28
Figura 16 – Interface do simulador TryRdP . . . . .	29
Figura 17 – Título no topo e ao centro da página . . . . .	31
Figura 18 – Mouse estilo default . . . . .	32
Figura 19 – Mouse estilo default . . . . .	33
Figura 20 – Mousemove desenhando arco . . . . .	33
Figura 21 – Mouse estilo grabbing . . . . .	35
Figura 22 – Diagrama de fluxo para criação de um lugar . . . . .	37
Figura 23 – Clicando bo botao Add Place . . . . .	37
Figura 24 – Diagrama de fluxo para criação de uma transição . . . . .	40
Figura 25 – Clicando bo botao addTransition . . . . .	40
Figura 26 – Diagrama de fluxo para criação de um Arco . . . . .	46
Figura 27 – Área canvas . . . . .	47
Figura 28 – Lugar P1 renderizado na tela . . . . .	49
Figura 29 – Renderização da transição T1 de forma não ativada e ativada . . . . .	50
Figura 30 – Arco normal e inibidor . . . . .	52
Figura 31 – Arco com pontos intermediários . . . . .	53
Figura 32 – Elementos mal distribuídos e movimentados para uma melhor visualização.	54
Figura 33 – Transição representada no plano cartesiano. . . . .	55
Figura 34 – Diagrama de fluxo para deletar um elemento . . . . .	59
Figura 35 – Caixa de confirmação para exclusão da rede por completo . . . . .	61
Figura 36 – Diagrama de fluxo para deletar a rede por completo . . . . .	62

Figura 37 – Tela para exportação da rede de Petri . . . . .	63
Figura 38 – Tela para importação da rede de Petri . . . . .	63
Figura 39 – Dados persistidos no localStorage . . . . .	65
Figura 40 – Movimentando as marcações - Parte 1 . . . . .	70
Figura 41 – Movimentando as marcações - Parte 2 . . . . .	70
Figura 42 – Movimentando as marcações - Parte 3 . . . . .	70
Figura 43 – Repositório Github . . . . .	71
Figura 44 – Projeto criado na plataforma Netlyfy . . . . .	71
Figura 45 – Domínio personalizado na plataforma Hostinger . . . . .	72
Figura 46 – Domínio personalizado configurado na plataforma Netlify . . . . .	72
Figura 47 – Certificado SSL/TLS configurado na plataforma Netlify . . . . .	73

# Lista de Códigos

3.1	Exemplo da chamada do evento <i>mousemove</i>	32
3.2	Exemplo da chamada do evento <i>mousedown</i>	33
3.3	Exemplo da chamada do evento <i>mouseup</i>	34
3.4	Lógica para botão continuamente pressionado <i>isPress</i>	34
3.5	Função <i>buttonAddPlace</i>	35
3.6	Chamada da função <i>addPlace</i>	35
3.7	Função <i>addPlace</i>	36
3.8	Função <i>buttonAddTransition()</i>	38
3.9	Chamada da função <i>addTransition()</i>	38
3.10	Função <i>addTransition()</i>	39
3.11	Botão <i>Add Arc</i>	41
3.12	Botão <i>Add Inh Arc</i>	41
3.13	Verificação de pontos intermediários	42
3.14	Construção de arco verificando os lugares	43
3.15	Construção de arco verificando as transições	44
3.16	Criando o arco com as propriedades	45
3.17	Definição da tag <i>&lt;canvas&gt;</i> no HTML	47
3.18	Função <i>loop</i>	48
3.19	Renderizando um lugar	49
3.20	Renderizando uma transição	49
3.21	Renderizando um arco	51
3.22	Verificando clique e atualizando posição do círculo	54
3.23	Verificando clique e atualizando posição do retângulo	55
3.24	Função <i>deleteElements()</i> simplificada para excluir um lugar	57
3.25	Função <i>deleteNet()</i>	60
3.26	Código para caixa de confirmação de exclusão da rede por completo	61
3.27	Código para exportação da rede num arquivo <i>.json</i>	64
3.28	Código para importação da rede num arquivo <i>.json</i>	64
3.29	Código para persistência dos dados com <i>localStorage</i>	65
3.30	Função <i>netSimulationEnables()</i>	66
3.31	Código para ativação da simulação	67
3.32	Função <i>netSimulationMove()</i>	68

# Sumário

<b>1</b>	<b>INTRODUÇÃO</b>	<b>12</b>
<b>1.1</b>	<b>Justificativas e Relevância</b>	<b>12</b>
<b>1.2</b>	<b>Objetivo Geral</b>	<b>13</b>
<b>1.3</b>	<b>Objetivos Específicos</b>	<b>13</b>
<b>1.4</b>	<b>Metodologia</b>	<b>13</b>
<b>1.5</b>	<b>Organização do trabalho</b>	<b>15</b>
<b>2</b>	<b>FUNDAMENTAÇÃO TEÓRICA</b>	<b>16</b>
<b>2.1</b>	<b>Redes de Petri</b>	<b>16</b>
2.1.1	O básico de redes de Petri	16
2.1.2	Evoluções das redes de Petri clássicas	19
<b>2.2</b>	<b>Tecnologias para o desenvolvimento web</b>	<b>24</b>
2.2.1	HTML	24
2.2.2	CSS	24
2.2.3	Javascript	25
2.2.4	Git	25
<b>2.3</b>	<b>Simuladores Conhecidos</b>	<b>25</b>
2.3.1	Pipe	26
2.3.2	APO	27
2.3.3	TryRdP	28
<b>3</b>	<b>DESENVOLVIMENTO</b>	<b>30</b>
<b>3.1</b>	<b>Eventos do Javascript</b>	<b>31</b>
3.1.1	mousemove	32
3.1.2	mousedown	33
3.1.3	mouseup	34
<b>3.2</b>	<b>Criação dos elementos</b>	<b>35</b>
3.2.1	Criação dos lugares	35
3.2.2	Criação das transições	38
3.2.3	Criação dos arcos	41
3.2.4	Para lugares	42
3.2.5	Para transições	43
3.2.6	Criando o arco com as propriedades	44
<b>3.3</b>	<b>Renderizando elementos na tela</b>	<b>46</b>
3.3.1	Função de renderização	48
<b>3.4</b>	<b>Movimentando elementos na tela</b>	<b>53</b>

3.4.1	Verificando clique em círculos . . . . .	54
3.4.2	Verificando clique em retângulos . . . . .	55
<b>3.5</b>	<b>Exclusão . . . . .</b>	<b>56</b>
3.5.1	Deletando elementos . . . . .	56
3.5.2	Deletando a rede por completo . . . . .	60
<b>3.6</b>	<b>Salvando e carregando a rede . . . . .</b>	<b>62</b>
3.6.1	localStorage . . . . .	65
<b>3.7</b>	<b>Simulação da rede . . . . .</b>	<b>66</b>
<b>3.8</b>	<b>Publicação do projeto online . . . . .</b>	<b>70</b>
<b>4</b>	<b>CONSIDERAÇÕES FINAIS . . . . .</b>	<b>74</b>
	<b>Referências . . . . .</b>	<b>75</b>

# 1 Introdução

Em 1962, Carl Adam Petri, por meio de sua dissertação, mostrou para o mundo a sua criação, as redes de Petri [Petri \(1962\)](#). Define-se uma rede de Petri como sendo uma ferramenta matemática para modelagem de sistemas concorrentes, em que as tarefas ocorrem paralelamente, e distribuídos, onde as tarefas acontecem em diferentes locais de forma integrada. Além da modelagem matemática, as redes de Petri podem ser ilustradas graficamente por meio de seus elementos, os lugares, as transições e os arcos. Além disso, com a evolução da indústria e da tecnologia, as redes de Petri ganharam ainda mais relevância, uma vez que elas permitem a modelagem de diversos tipos de sistemas, em diferentes áreas.

A evolução da indústria e da tecnologia também culminou com a popularização da internet [Lins \(2013\)](#). O surgimento do World Wide Web, em 1990, por Tim Berners-Lee, permitiu aos primeiros usuários da internet a interação com um sistema de hipertexto. Com o passar dos anos, as aplicações web se tornaram cada vez mais comuns e sofisticadas. O que antes começou com páginas estáticas evoluiu para aplicações dinâmicas, interativas e de fácil acesso para a maioria das pessoas. Atualmente, se consegue ter uma experiência muito próxima as funcionalidades de um computador pessoal, com aplicações desktop, apenas manipulando abas em um navegador.

Diante da facilidade de acesso a aplicativos web por meio dos navegadores, como Google Chrome, Firefox, Safari, Edge, entre outros, se torna viável o desenvolvimento de uma aplicação web que possibilite aos usuários a criação e simulação do comportamento de redes de Petri, de forma simples e intuitiva. Para tal, torna-se necessário o conhecimento de tecnologias voltadas para o desenvolvimento web, como HTML, CSS e Javascript.

Além do conhecimento em desenvolvimento, será necessário compreender os conceitos e práticas de infraestrutura, viabilizando a disponibilidade e o acesso contínuo à aplicação web. Uma vez desenvolvida, a aplicação pode ser disponibilizada para acesso por qualquer usuário que possua conexão com a internet, facilitando a modelagem de redes de Petri.

## 1.1 Justificativas e Relevância

As redes de Petri representam uma poderosa ferramenta gráfica e matemática para a modelagem e análise de sistemas concorrentes e distribuídos. No entanto, o seu entendimento pode ser um desafio, especialmente para aqueles sem familiaridade com os conceitos e experiência matemática.

Atualmente, existem algumas ferramentas capazes de construir e simular redes de Petri. Entretanto, muitas delas requerem um conhecimento mínimo de computação, para que assim, possam ser instaladas em sistemas operacionais como Linux, Windows e MacOS. Além disso, algumas delas não são multiplataforma, restringindo o acesso dessas ferramentas.

Nesse contexto, uma aplicação web, simples e intuitiva, atenderia as necessidades, tanto de usuários comuns, como o de estudantes e pesquisadores interessados em entender o funcionamento das redes de Petri. Por meio de uma aplicação web, o acesso é simplificado e facilitado, pois elimina a necessidade de instalações complicadas e pré-conhecimento técnico avançado.

## 1.2 Objetivo Geral

O desenvolvimento de uma aplicação web capaz de criar e simular o comportamento de redes de Petri.

## 1.3 Objetivos Específicos

- Desenvolvimento de um motor de simulação, capaz de simular o comportamento das redes de Petri criadas, possibilitando a visualização e a interação, por parte do usuário;
- Desenvolvimento de uma interface simples e intuitiva para a construção e simulação das redes de Petri;
- Aprendizado de tecnologias voltadas para o desenvolvimento web;
- Criação de uma alternativa simples e de fácil acesso para o aprendizado de redes de Petri;
- Disponibilização da ferramenta desenvolvida em qualquer navegador web moderno.

## 1.4 Metodologia

Inicialmente, para o desenvolvimento da aplicação web, capaz de construir e simular o comportamento de redes de Petri, será necessário entender os requisitos e características mínimas para o funcionamento da aplicação. Analisando *softwares* já existentes que cumprem essa função, serão desenvolvidas as seguintes funcionalidades básicas:

- Área da tela em que a rede de Petri será renderizada;

- Botões para inserção de lugares, transições e arcos;
- Botão de simulação em que, ao ser acionado, irá permitir a análise do comportamento da rede de Petri criada;
- Opção de definir propriedades para os componentes das redes de Petri, lugares, transições e arcos;
- Alteração de cor da transição quando houver os requisitos mínimos satisfeitos para sua ativação;
- Opção de deleção dos elementos criados;
- Opção de importação e exportação dos projetos desenvolvidos.

Com as características básicas da aplicação definidas, serão desenvolvidos diferentes diagramas de fluxo, semelhantes ao ilustrado na Figura 1, evidenciando o passo a passo de funcionamento das principais funcionalidades da aplicação.

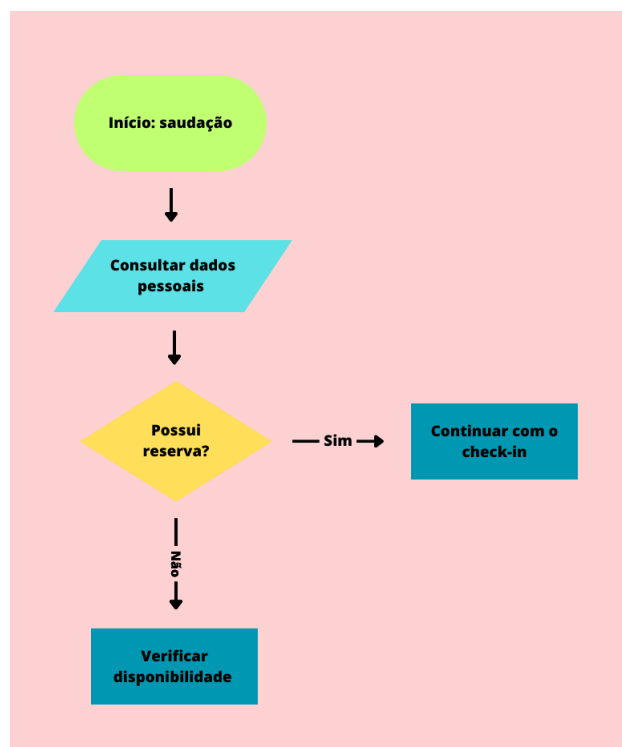


Figura 1 – Exemplo de Diagrama de fluxo. Fonte: [EBAC - Escola Britânica de Artes Criativas e Tecnologia \(2022\)](#).

Além dos diagramas de fluxo, será desenvolvido um esboço de como deverá ser a interface a qual o usuário verá ao acessar a aplicação web. Após a definição do design, e com a criação dos diagramas de fluxo, inicia-se o processo de programação. A linguagem de programação Javascript será utilizada, juntamente com HTML e CSS. O desenvolvimento

acompanhará a base do design e requisitos da aplicação pré-estabelecidos. Com isso, espera-se a criação de um MVP - *Minimum Viable Product*.

Após a criação do MVP, em um ambiente local, a aplicação será hospedada em algum servidor e, dessa forma, a partir de um endereço web, poderá ser acessada pelos usuários por meio de um navegador.

## 1.5 Organização do trabalho

O Capítulo 2 apresenta os conceitos necessários para o entendimento do estudo, abordando inicialmente as Redes de Petri, seguido das tecnologias voltadas ao desenvolvimento web e, por fim, uma breve análise de simuladores já conhecidos.

O Capítulo 3 descreve a implementação prática do projeto, detalhando desde o uso de eventos do JavaScript, a criação e renderização de elementos, até a movimentação, exclusão, salvamento e carregamento da rede. Também são descritos os procedimentos de simulação da rede e a publicação do projeto em ambiente online.

Por último, o Capítulo 4 apresenta uma síntese dos resultados alcançados e as conclusões obtidas a partir do trabalho desenvolvido, além de ideias futuras para o projeto.

## 2 Fundamentação teórica

### 2.1 Redes de Petri

As redes de Petri surgiram por volta da década de 1960 pela mente de Carl Adam Petri. Em 1962, Petri apresentou sua tese intitulada *Kommunikation mit Automaten* (Communication with Automata), em que descreveu pela primeira vez a estrutura e funcionamento das redes Petri (1962). Essa nova ideia de representar sistemas permitiu a análise de sistemas concorrentes e distribuídos.

Com o passar dos anos, a evolução tecnológica durante a terceira revolução industrial evidenciou os benefícios das redes de Petri, e sua aplicabilidade foi ampliada para além da modelagem de processos industriais, sendo adotada também para descrever processos dentro das áreas de Ciência da Computação e Engenharia de Software Coutinho (1992). Sendo assim, a partir dos anos de 1980, com o crescimento da automação industrial, as redes de Petri começaram a ser adaptadas para atender as necessidades de diferentes áreas. Com isso, surgiram as redes de Petri coloridas, temporizadas e estocásticas, sendo evoluções da rede de Petri clássica descrita por Carl Adam Petri.

#### 2.1.1 O básico de redes de Petri

Segundo Cassandras e Lafortune (2008), uma rede de Petri clássica é representada graficamente por lugares, transições e arcos. Os lugares representam os estados do sistema, as transições indicam os eventos ou ações que podem ocorrer durante o funcionamento do sistema. Os arcos direcionados conectam os lugares as transições e as transições aos lugares. Essa estrutura permite a análise de propriedades importantes dos sistemas, como alcançabilidade, vivacidade, *deadlock*, reversibilidade, entre outras propriedades fundamentais para análise do comportamento de sistemas complexos.

As redes de Petri seguem uma lógica matemática. Assim sendo, seus elementos são definidos como:

$$(P, T, A, w) ,$$

em que

$P = \{p_1, p_2, \dots, p_n\}$  é o conjunto de lugares;

$T = \{t_1, t_2, \dots, t_m\}$  é o conjunto de transições;

$A \subseteq (P \times T) \cup (T \times P)$  representa os arcos de lugares para transições, e arcos de transições para lugares;

$w : A \rightarrow \{1, 2, 3, \dots\}$  é a função de peso dos arcos.

Com tais elementos, torna-se possível a criação e modelagem de redes de Petri para a representação de sistemas concorrentes. Conforme o exemplo 1 é possível evidenciar uma rede de Petri simples, permitindo a compreensão da estrutura e funcionamento das redes de Petri em um âmbito geral.

**Exemplo 1: Uma rede de Petri simples.**

Inicialmente, define-se os conjuntos  $P, T, A, w$ .

$$P = \{p_1, p_2\}$$

$$T = \{t_1\}$$

$$A = \{(p_1, t_1), (t_1, p_2)\}$$

$$w(p_1, t_1) = 2$$

$$w(t_1, p_2) = 1$$

Para esse exemplo, tem-se os lugares  $p_1$  e  $p_2$ . O arco  $(p_1, t_1)$  conecta o lugar  $p_1$  à transição  $t_1$ , e seu peso  $w(p_1, t_1)$  é igual a 2. O arco  $(t_1, p_2)$  conecta a transição  $t_1$  ao lugar  $p_2$ , e seu peso  $w(t_1, p_2)$  é igual a 1.

Tendo a lógica matemática definida, pode-se ilustrar graficamente a mesma rede de Petri, conforme a Figura 2.

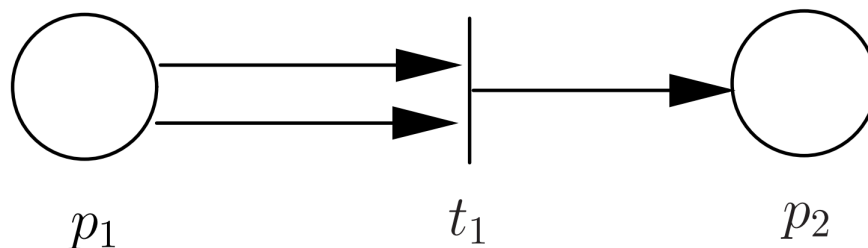


Figura 2 – Rede de Petri Simples - Parte 1. Fonte: [Cassandras e Lafortune \(2008\)](#).

Para a mudança de estado dessa representação é necessário, no mínimo, duas marcações no lugar  $p_1$ . Com essa condição satisfeita, a transição  $t_1$  passa a estar habilitada, tornando possível a mudança de estado, como ilustrado na Figura 3.

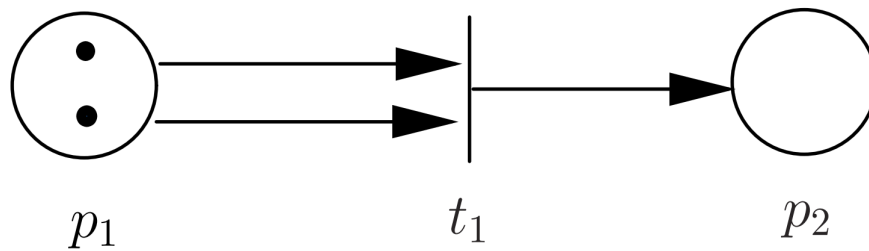


Figura 3 – Transição  $t_1$  habilitada. Fonte: [Cassandras e Lafortune \(2008\)](#).

Após a execução da transição  $t_1$ , as duas marcações em  $p_1$  somem, e uma marcação em  $p_2$  surge. Essa lógica se dá por meio do peso dos arcos. O arco  $(p_1, t_1)$ , anterior à transição  $t_1$  possui peso 2, logo o lugar  $p_1$  cede duas marcações para a transição  $t_1$  ocorrer. De forma análoga, o lugar  $p_2$  ganha uma marcação, pois o arco  $(t_1, p_2)$ , posterior à transição  $t_1$ , tem peso igual a 1. Essa lógica é ilustrada pela Figura 4.

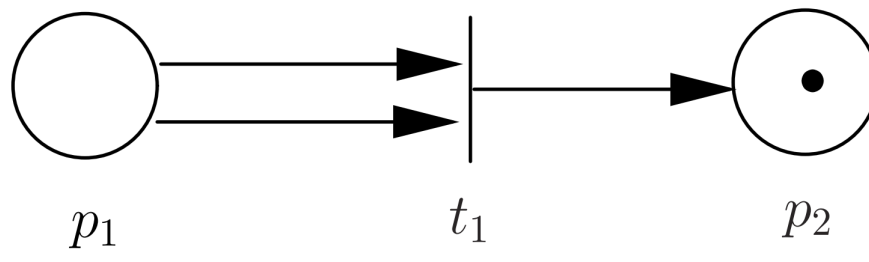


Figura 4 – Rede de Petri após a transição  $t_1$  ter sido executada. Fonte: [Cassandras e Lafortune \(2008\)](#).

Com o exemplo 1, é possível entender o princípio básico de funcionamento das redes de Petri. Dessa forma, tem-se que:

- (a) **habilitação de uma transição:** para a habilitação de uma transição  $t_m$  é necessário que o número de marcações associados ao lugar  $p_n$ , anterior a transição  $t_m$ , seja igual, ou superior, ao peso do arco que conecta o lugar  $p_n$  a transição  $t_m$ ;
- (b) **peso dos arcos:** o peso do arco indica o número mínimo de marcações necessárias para ativar uma transição, além de servir na movimentação das marcações;
- (c) **movimentação das marcações:** após uma transição  $t_m$  ser disparada, o número de marcações do lugar  $p_n$ , anterior a transição  $t_m$ , é subtraído, sendo esse valor, o peso do arco que conecta  $p_n$  a  $t_m$ . O lugar  $p_{n+1}$ , posterior a transição  $t_m$ , recebe adição na quantidade de marcações, sendo esse valor, o peso do arco que conecta  $t_m$  a  $p_{n+1}$ .

A partir desses conceitos, pode-se representar um sistema de embalagem e venda de fardos de garrafas, conforme a Figura 5. Neste exemplo, considera-se um processo em

que a transição inicial simboliza a chegada de novas garrafas, as quais são direcionadas para o estoque. Esse estoque acumula as garrafas recebidas até que seja atingida a quantidade mínima necessária para a formação de um fardo. A cada quatro garrafas armazenadas, realiza-se a operação de embalagem, resultando em um único fardo. Em uma etapa subsequente, cada fardo produzido torna-se uma unidade pronta para comercialização, podendo ser vendido individualmente.

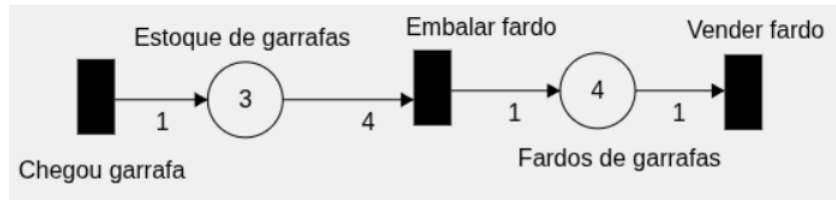


Figura 5 – Embalamento e venda de fardos de garrafas por meio de redes de Petri.

## 2.1.2 Evoluções das redes de Petri clássicas

Além da rede de Petri clássica, com o passar dos anos, e com o avanço da tecnologia, houve a necessidade de se adaptar as redes de Petri para atender cenários mais realistas e complexos. A partir dessas variações, três delas se destacam, sendo elas as redes de Petri Temporizadas (Exemplo 2), Coloridas (Exemplo 3) e Estocásticas (Exemplo 4). Cada uma delas, permite uma representação mais abrangente dos sistemas do mundo real, pois permitem o desenvolvimento de aspectos como tempo, características distintas e incertezas que compõem os diversos tipos de sistemas. Além disso, todas elas podem ser combinadas para representarem diferentes tipos de sistemas, desde os mais simples aos mais complexos.

### 2.1.2.1 Temporizada

As redes de Petri Temporizadas surgiram a partir da necessidade de se atribuir uma propriedade temporal a certos atributos de um sistema [Lima, Lüders e Künzle \(2008\)](#). Ao contrário das redes de Petri clássicas, que consideram as transições como instantâneas, as redes de Petri Temporizadas reconhecem que uma vasta quantidade de sistemas do mundo real estão intrinsecamente ligados a variáveis de tempo. Tal fato é extremamente relevante, já que a maioria dos eventos nesses sistemas demandam certo período de tempo para sua execução completa.

Nas redes de Petri Temporizadas, pode-se considerar dois cenários para a associação de variáveis de tempo. No primeiro cenário, se tem a associação de tempo  $C_i$  à duração de uma certa transição  $t_m$ . Ou seja, o evento representado pela transição terá um intervalo de tempo para ser executado. No segundo cenário, associa-se a variável de tempo  $C_i$  aos lugares  $p_n$ . Dessa forma, as marcações tornam-se disponíveis apenas após o intervalo de tempo. Define-se assim:

- Tempo  $C_i$  associado a transição  $t_m$ ;
- Tempo  $C_i$  associado ao lugar  $p_n$ .

As transições temporizadas, nos modelos gráficos, para se diferenciar das transições instantâneas, possuem uma cor associada diferente, e isso pode ser evidenciado na maioria dos *softwares* já disponíveis. Enquanto as transições instantâneas possuem fundo preto, as transições temporárias possuem fundo branco. Além disso, quando uma transição estiver disponível para o disparo, ela possuirá fundo vermelho, conforme a Figura 6.

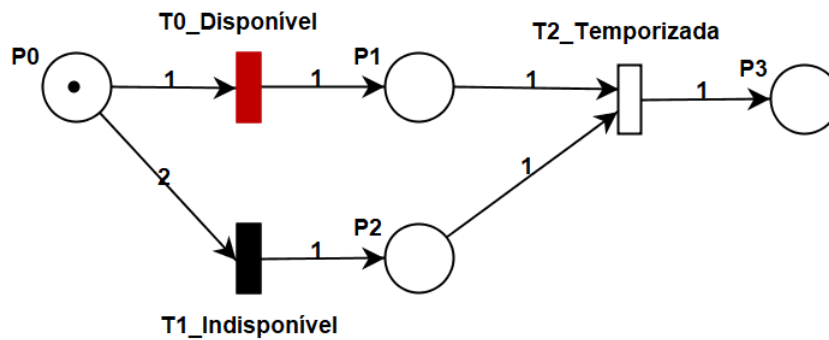


Figura 6 – Cores dos tipos de transição.

No exemplo 2 há uma transição fonte  $t_0$ , que está sempre habilitada (Figura 7), conectada ao lugar  $p_0$ . O lugar  $p_0$  está ligado a uma transição temporizada  $t_1$ , por meio de um arco  $w(p_0, t_1)$  de peso 2. Além disso, a transição  $t_1$  possui um tempo  $C_1$  associado. Ou seja, após o disparo da transição  $t_1$ , haverá um tempo  $C_1$  de espera, indicando o tempo de execução do evento associado a transição (Figura 8). Após a decorrência desse tempo, duas marcações, associadas ao lugar  $p_0$ , serão consumidas e o lugar  $p_1$  receberá uma marcação (Figura 9).

### Exemplo 2: Rede de Petri Temporizada.

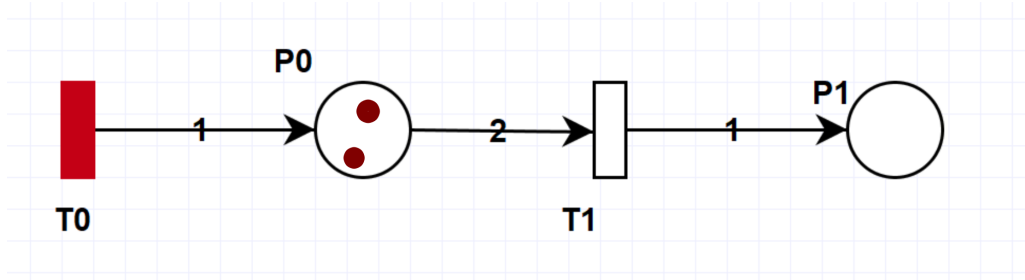


Figura 7 – Rede de Petri Temporizada - Estágio 1. Fonte: Pipe.

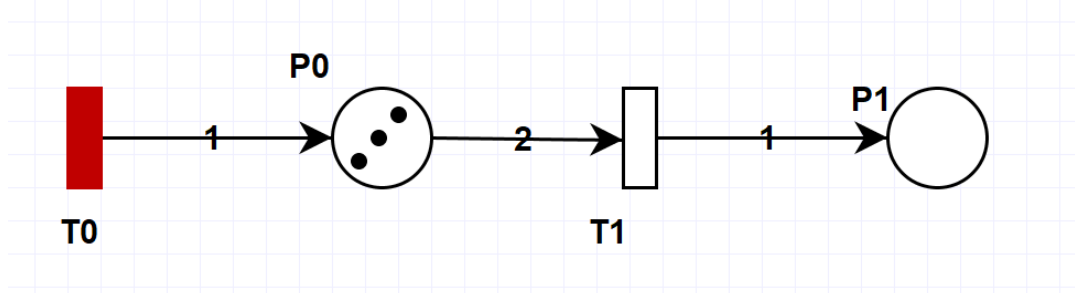


Figura 8 – Rede de Petri Temporizada - Estágio 2. Fonte: Pipe.

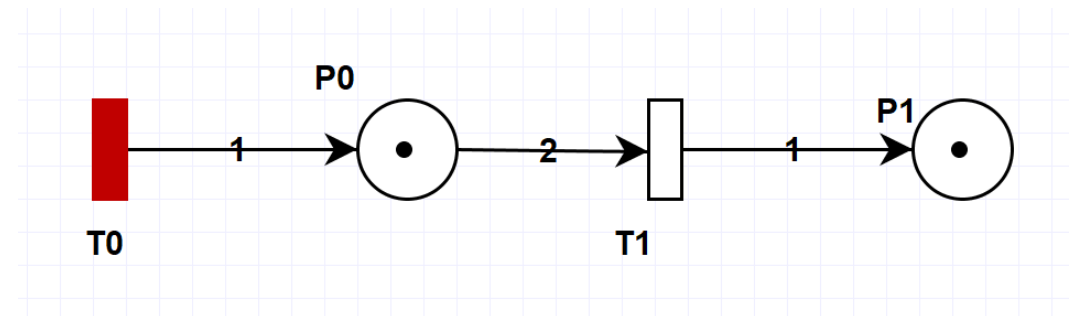


Figura 9 – Rede de Petri Temporizada - Estágio 3. Fonte: Pipe.

### 2.1.2.2 Colorida

As redes de Petri Coloridas surgiram com a ideia de diminuir o tamanho das representações [Francês \(2003\)](#), uma vez que muitas representações contam com ideias semelhantes. Por meio da individualização das marcações, os processos e recursos de um sistema podem agora representar diferentes ideias em uma mesma rede, ou parte dela. O termo “colorida” surge da ideia de ter marcações, com diferentes cores, símbolos ou padrões, representando diferentes recursos. Essa forma de representação tem como principal benefício reduzir o tamanho e, conseqüentemente, a complexidade da representação em uma rede de Petri.

Uma vez que se consegue representar as marcações com diferentes cores, torna-se mais simples a representação de sistemas complexos, diminuindo a complexidade das análises. Nas redes de Petri tradicionais, cada lugar representa um único estado do sistema representado. As redes de Petri coloridas deixam de forma mais intuitiva e clara a representação de múltiplos estados ou recursos.

#### **Exemplo 3: Rede de Petri Colorida.**

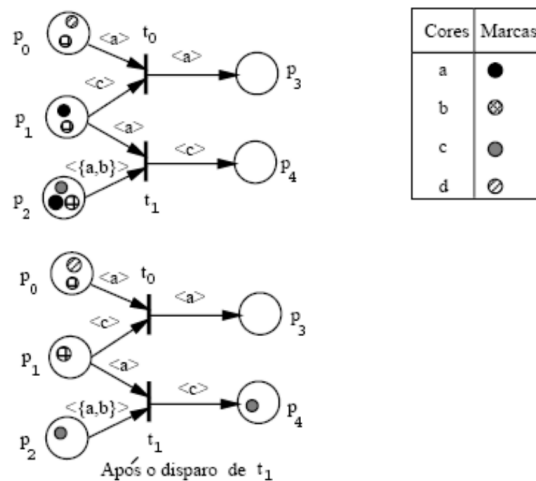


Figura 10 – Rede de Petri Colorida. Fonte: [Penha, Freitas e Martins \(2004\)](#)

No exemplo 3 diferentes elementos estão representados no mesmo lugar (Figura 10). O peso dos arcos são referenciados por cores e, dessa forma, a transição só estará habilitada caso o lugar contenha marcações do mesmo tipo que a cor indicada no peso do arco. A transição  $t_0$  não está habilitada porque não há uma marcação da cor  $\langle a \rangle$  no lugar  $p_0$ . A transição  $t_1$  está habilitada porque há uma marcação da cor  $\langle a \rangle$  no lugar  $p_1$  e marcações das cores  $\langle a \rangle$  e  $\langle b \rangle$  no lugar  $p_2$  (PENHA; FREITAS; MARTINS, 2004).

### 2.1.2.3 Estocásticas

Uma rede de Petri estocástica é mais uma evolução das redes de Petri clássicas. Enquanto as redes de Petri clássicas são frequentemente usadas para representar sistemas discretos e determinísticos, as redes de Petri estocásticas permitem incorporar a aleatoriedade e a incerteza na representação.

Nas redes de Petri estocásticas, os elementos básicos, como lugares, transições e arcos, são semelhantes aos das redes de Petri convencionais. No entanto, a principal diferença é que as transições não são ativadas de forma determinística, mas sim com base em probabilidades. Isso significa que a ocorrência de uma transição é governada por um processo estocástico, como um processo de *Poisson*, e a escolha de qual transição ocorre em um determinado momento é determinada por probabilidades.

Essa abordagem estocástica é especialmente útil para modelar sistemas onde eventos ocorrem de maneira aleatória, como sistemas de comunicação, sistemas biológicos e sistemas de manufatura com variações de tempo e recursos. As redes de Petri estocásticas permitem a análise de propriedades estatísticas do sistema, como a probabilidade de estados específicos serem alcançados ou a distribuição de tempo entre eventos.

#### Exemplo 4: Rede de Petri Estocástica.

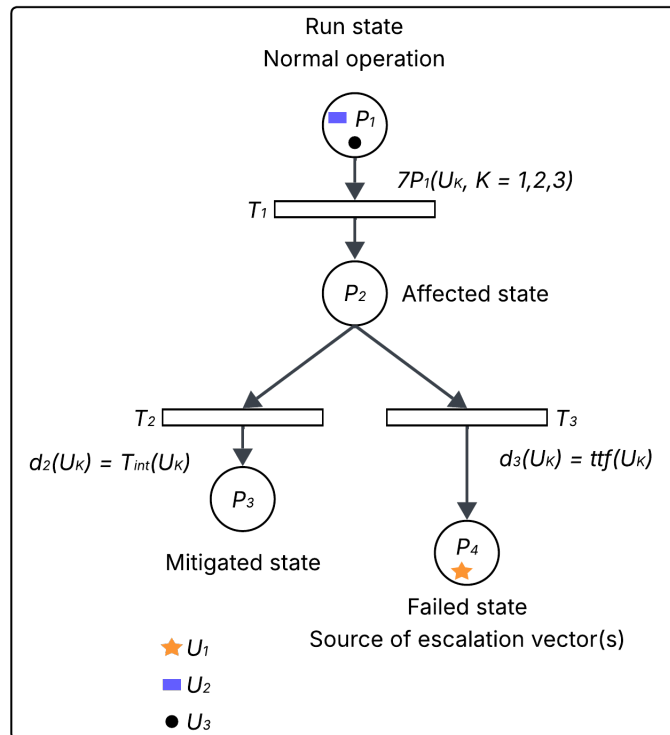


Figura 11 – Rede de Petri Estocástica. Fonte: Kadri, Lallement e Chatelet (2012)

Conforme o exemplo 4 (Figura 11), os diferentes estados operacionais das unidades são simbolizados pelas marcações coloridas, permitindo distinguir o estado específico de cada instância Kadri, Lallement e Chatelet (2012). A estrutura da rede é composta por quatro lugares principais: o lugar  $P_1$  representa as unidades em operação normal; o lugar  $P_2$  armazena as unidades que foram afetadas por algum evento, mas que ainda não falharam; o lugar  $P_3$  representa as unidades mitigadas, ou seja, aquelas que, embora tenham sido impactadas, passaram por uma intervenção bem-sucedida; e o lugar  $P_4$  contém as unidades que falharam, representando uma fonte de risco para as demais unidades do sistema.

A característica estocástica da rede está presente na modelagem temporal das transições entre os estados, que ocorrem de forma probabilística, geralmente seguindo distribuições exponenciais. Essa abordagem permite incorporar a incerteza inerente aos tempos de falha (*time to failure* –  $ttf$ ), e de intervenção (*intervention time* –  $T_{int}$ ), tornando a simulação mais realista. Quando o  $ttf$  é superior ao  $T_{int}$ , a unidade pode ser mitigada a tempo, sendo alocada em  $P_3$ ; caso contrário, ocorre a falha, e a unidade transita para o lugar  $P_4$ .

## 2.2 Tecnologias para o desenvolvimento web

O desenvolvimento de aplicações web interativas e eficientes requer a utilização de um conjunto de tecnologias modernas que, utilizadas juntas, fornecem os recursos necessários para a construção de interfaces gráficas, implementação de lógicas, estilização visual e versionamento de código. Para tais necessidades, tem-se as principais ferramentas utilizadas para tais finalidades, sendo elas o HTML, CSS, Javascript e Git.

### 2.2.1 HTML

O **HTML** (*HyperText Markup Language*) é a linguagem de marcação padrão para a criação e estruturação de conteúdo na internet [MDN Web Docs \(2024f\)](#). Sua função principal é definir a estrutura semântica de uma página web, organizando elementos como títulos, parágrafos, imagens, links, botões, formulários e vários outros elementos. No desenvolvimento de uma aplicação web para construção e simulação de redes de Petri, o HTML atua como esqueleto da interface, definindo todas as funcionalidades com as quais o usuário terá acesso.

Dessa forma, o HTML é composto por uma série de elementos conhecidos como *tags*, os quais são utilizados para estruturar e identificar semanticamente o conteúdo de uma página web. Cada *tag* possui uma função específica e pode conter atributos que modificam seu comportamento ou aparência.

A estrutura básica de um documento HTML é hierárquica e inicia com a *tag* `<!DOCTYPE html>`, seguida pelas *tags* `<html>`, `<head>` e `<body>`, que organizam o conteúdo e os metadados da página. O conteúdo visual e interativo apresentado ao usuário reside, predominantemente, dentro da *tag* `<body>`, enquanto elementos de configuração, definição de estilos e *scripts* são alocados na *tag* `<head>`.

Por fim, por meio do arquivo HTML faz-se a junção de outras tecnologias, tais como o CSS e o Javascript.

### 2.2.2 CSS

O **CSS** (*Cascading Style Sheets*) é a linguagem responsável pela definição da aparência dos elementos HTML [MDN Web Docs \(2024a\)](#). Por meio do CSS, é possível personalizar cores, tamanhos, posicionamentos, margens, fontes e efeitos visuais. A estilização também contribui para a experiência do usuário ao proporcionar *feedback* visual em interações, como a mudança de cor de um botão ao clicar e a exibição de mensagens de alerta.

Para a aplicação de construção e simulação de redes de Petri, o CSS é fundamental para estilizar os elementos gráficos, os lugares, transições e arcos, definindo as cores,

tamanhos, e organizando o *layout* da área de desenho e dos painéis de controle, garantindo uma experiência intuitiva e esteticamente agradável para os usuários da aplicação.

### 2.2.3 Javascript

O **Javascript** é uma linguagem de programação interpretada, executada ao lado do navegador do usuário, e é responsável por implementar comportamentos dinâmicos nas páginas web [MDN Web Docs \(2024a\)](#). Trata-se de uma linguagem orientada a eventos, que permite responder a interações do usuário, manipular o *DOM* (*Document Object Model*) em tempo real, controlar estados da aplicação e realizar operações lógicas e matemáticas.

Enquanto o HTML é responsável pela estrutura da página e o CSS pela sua apresentação visual, o Javascript permite a implementação de comportamentos dinâmicos, como respostas a eventos de usuários, manipulação do conteúdo da página em tempo real, validação de formulários, animações, chamadas assíncronas, entre outros.

Na aplicação proposta, o Javascript desempenha papel central no funcionamento do simulador. Toda a lógica de construção e simulação da rede de Petri será implementada em Javascript, permitindo o desenvolvimento de diversas funcionalidades para a aplicação e para o cumprimento dos objetivos específicos do projeto (Seção 1.3).

### 2.2.4 Git

O **Git** é um sistema de controle de versão distribuído amplamente utilizado em projetos de desenvolvimento de software [Git \(2024\)](#). Seu principal objetivo é registrar e gerenciar o histórico de alterações feitas no código-fonte, permitindo o acompanhamento da evolução do projeto, reversão de modificações e colaboração de forma eficiente.

Para o desenvolvimento do projeto, o controle de versão é essencial. O Git, em conjunto com a plataforma GitHub, permitem não apenas o versionamento contínuo do código-fonte, mas também a criação de ramificações para o desenvolvimento simultâneo de diferentes funcionalidades, sem comprometer a integridade da versão principal do projeto. Além disso, o GitHub viabiliza a disponibilização pública do repositório, favorecendo a transparência, a colaboração e o acesso ao código por terceiros. A utilização de ambas ferramentas garantem a preservação do histórico de alterações, facilitando o rastreamento de modificações, a identificação de regressões e a reversão de mudanças indesejadas, contribuindo significativamente para a organização e segurança do desenvolvimento.

## 2.3 Simuladores Conhecidos

Alguns simuladores já foram desenvolvidos com o objetivo de apoiar a criação e à análise de redes de Petri. Essas ferramentas possibilitam tanto a modelagem gráfica

quanto a execução de simulações, facilitando a compreensão do comportamento do sistema representado. Porém, algumas delas podem não acessíveis de forma fácil, ou não oferecem mais suporte a ferramenta.

### 2.3.1 Pipe

O **PIPE** (*Platform Independent Petri Net Editor*) é uma ferramenta de *software* de código aberto para simulação e análise de redes de Petri (Figura 12) Dingle, Knottenbelt e Suto (2009). Desenvolvido em linguagem Java, o PIPE se destaca por ser uma ferramenta multiplataforma, operando em diversos sistemas operacionais, como Windows, MacOS e Linux, facilitando sua acessibilidade e disseminação na comunidade acadêmica e de pesquisa. Entretanto, o projeto aparenta não estar mais em desenvolvimento, visto que, não há mais contribuições no repositório do projeto no Github (Figura 13) Tattersall e Contributors (2015).

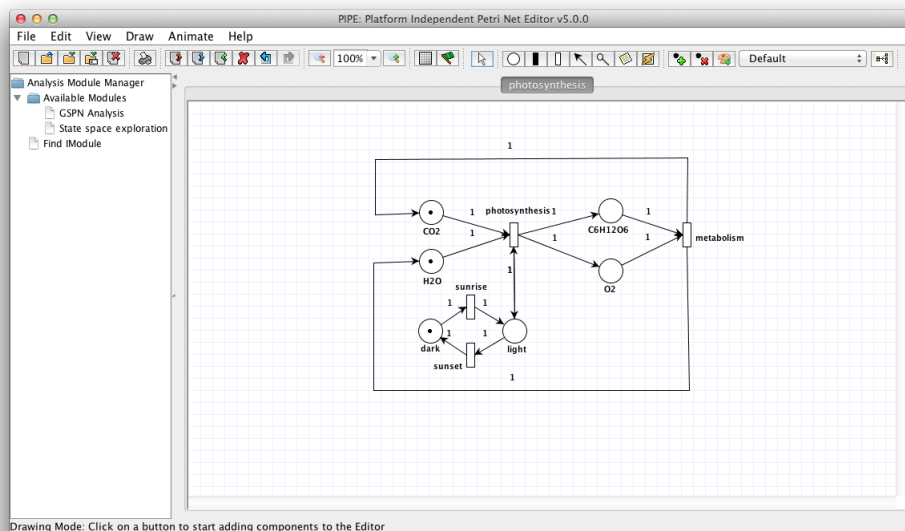


Figura 12 – Interface do simulador PIPE

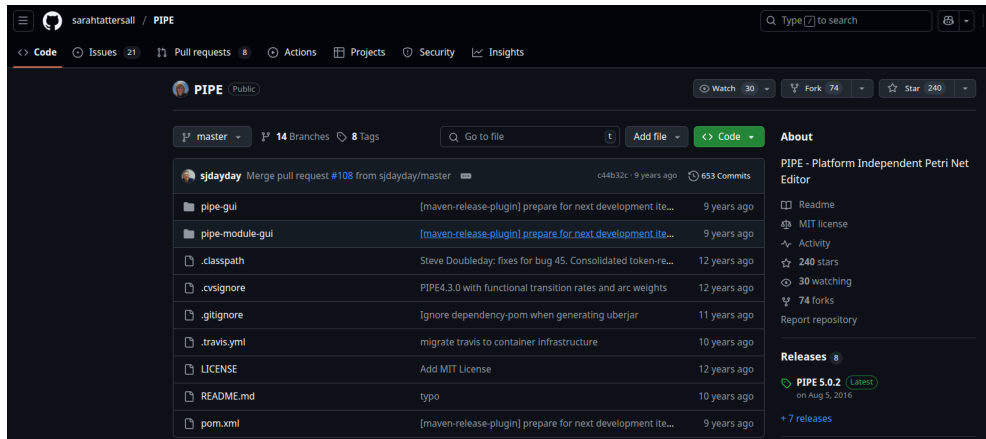


Figura 13 – Repositório no Github do PIPE

Apesar do PIPE ser uma excelente ferramenta para modelagem e simulação de redes de Petri, seu projeto aparenta não ter mais atualizações, e sua instalação requer conhecimento técnico em Java, podendo ser impeditivo para alguns usuários. Além disso, sua última versão, a versão 5, apresenta diferentes *bugs*, dificultando a sua utilização.

### 2.3.2 APO

A ferramenta APO (*Accessible Petri Net Operations*) consiste em uma interface web desenvolvida para facilitar o uso do APT (*Analysis of Petri Nets and Transition Systems*), um software robusto voltado à análise e síntese de redes de Petri e Sistemas de Transição (Figuras 14 e 15).

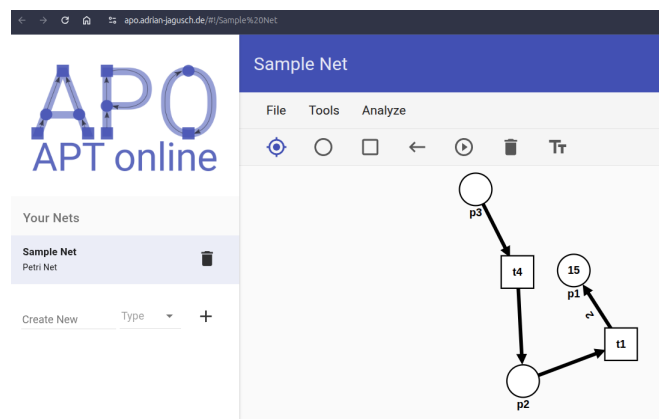


Figura 14 – Interface do simulador APO

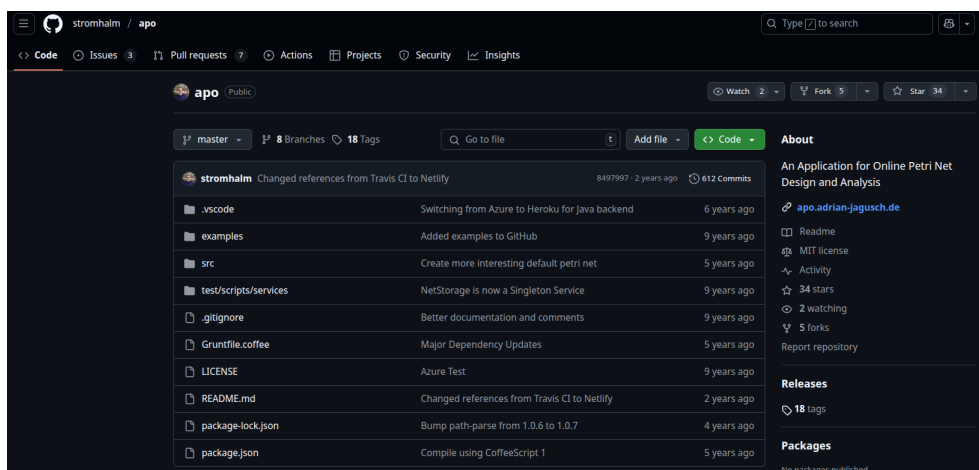


Figura 15 – Repositório no Github do APO

A construção das redes é feita de maneira interativa, por meio de uma barra de ferramentas intuitiva, que permite a criação de lugares, transições e arcos. Após a modelagem da rede, é possível realizar análises automáticas utilizando os algoritmos integrados ao APT, diretamente acessíveis por meio da barra de menu (JAGUSCH, 2023).

Apesar de ser uma boa alternativa para a construção de redes de Petri, a ferramenta APO não tem mais suporte.

### 2.3.3 TryRdP

O **TryRdP** é uma ferramenta web gratuita e interativa desenvolvida com o objetivo de apoiar o ensino e a aprendizagem significativa das redes de Petri Lima, Falcão e Andrade (2021). Diante da dificuldade que muitos estudantes enfrentam com o ensino tradicional, muitas vezes excessivamente teórico e abstrato, o TryRdP surge como uma alternativa mais prática e acessível, oferecendo uma abordagem baseada em exemplos reais de aplicação.

A ferramenta é organizada em três seções principais: introdução, modelagem básica e modelagem avançada, cada uma com explicações detalhadas dos conceitos e exercícios que aumentam progressivamente em complexidade (Figura 16). Essa estrutura favorece o aprendizado gradual e autônomo, permitindo que os usuários desenvolvam suas habilidades de forma prática e contextualizada. Além disso, a ferramenta TryRdP foi desenvolvida utilizando-se de tecnologias web modernas, como HTML, CSS e JavaScript, além de outros *frameworks* para desenvolvimento web.

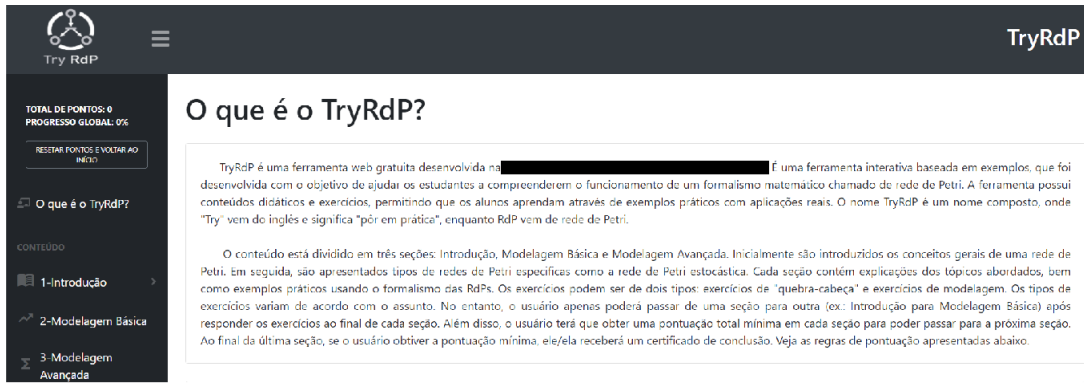


Figura 16 – Interface do simulador TryRdP

O TryRDP configura-se como uma ferramenta bastante eficaz para fins educacionais, especialmente no processo de aprendizagem sobre redes de Petri. Sua proposta se destaca pela disponibilização de exercícios com níveis de dificuldade progressivos, além de fornecer mensagens de *feedback* e correção sempre que o usuário comete erros, o que contribui significativamente para o aprendizado ativo. No entanto, a acessibilidade da ferramenta ainda representa uma limitação, uma vez que a localização do endereço *URL* para acesso externo não é intuitiva nem prontamente disponível, dificultando seu uso por novos usuários.

## 3 Desenvolvimento

O desenvolvimento deste projeto iniciou-se com uma análise geral das funcionalidades centrais que a aplicação web deveria atender para alcançar seus objetivos. Desde o princípio, buscou-se criar uma ferramenta funcional e intuitiva que permitisse aos usuários construir, visualizar e simular redes de Petri. Essas funcionalidades formam a espinha dorsal da aplicação, garantindo não apenas o cumprimento do objetivo principal, mas também estabelecendo uma base sólida para futuras expansões e melhorias. Dessa forma, o sistema foi pensado para ser escalável, possibilitando a adição de novas funcionalidades e o aprimoramento contínuo da interface e da experiência do usuário. Essas funcionalidades buscam cumprir os seguintes requisitos:

1. Definição de um espaço na tela para a criação de uma rede Petri;
2. Capacidade de adição dos elementos que compõem uma rede de Petri;
3. Capacidade de renderização dos elementos na tela;
4. Capacidade de movimentação dos elementos adicionados a área destinada ao desenvolvimento da rede de Petri;
5. Uma vez criado um elemento, ser possível modificar suas propriedades;
6. Possibilidade de exclusão dos elementos, tanto de forma individual, quanto de modo geral;
7. Possibilidade de salvar e carregar as redes de Petri criadas;
8. Possibilidade de simular a rede de Petri desenvolvida;
9. Forma de hospedar a aplicação de modo online para acesso via navegador de internet.

Com os requisitos em mente, criou-se a base de arquivos que seriam utilizados para o desenvolvimento da aplicação web, sendo eles:

1. index.html;
2. style.css;
3. script.js.

Por meio do arquivo **index.html** estruturou-se toda a interface da aplicação. É nele em que se define todos os elementos que vão fazer parte da interface apresentada ao usuário final. O arquivo **style.css** define as principais propriedades visuais que foram estabelecidas anteriormente no arquivo **index.html**. Por fim, no arquivo **script.js** se define toda a lógica da aplicação. Por meio da linguagem de programação Javascript se desenvolveu todas as funcionalidades que foram estabelecidas anteriormente.

No arquivo **index.html**, inicialmente, criou-se o título da página denominado **Online Petri Net Simulator** e seu posicionamento foi definido no topo e ao centro da tela, conforme a Figura 17:

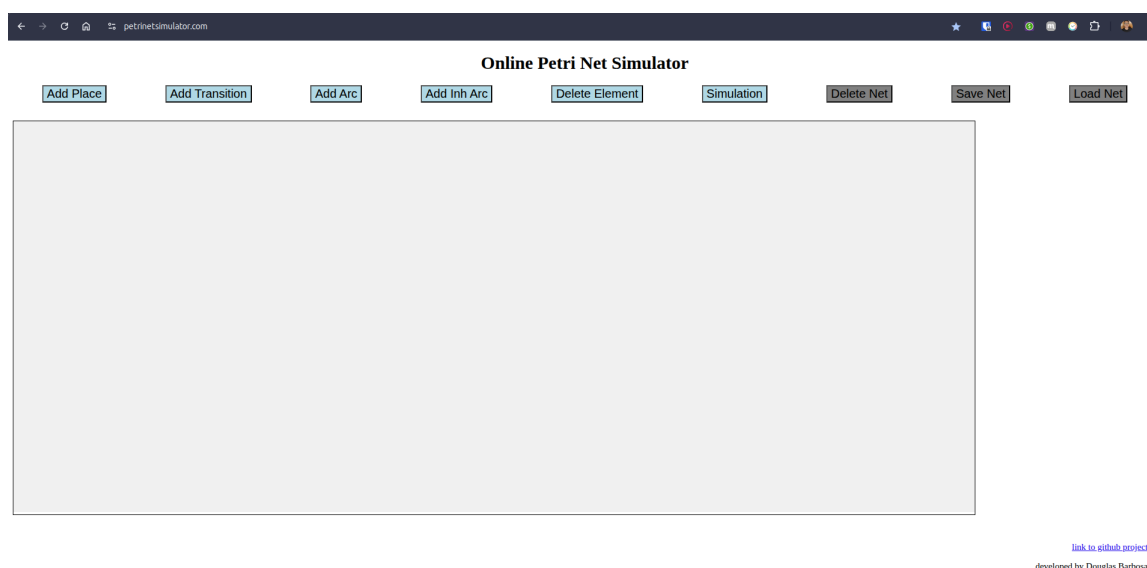


Figura 17 – Título no topo e ao centro da página. Fonte: próprio autor

Para a execução das funcionalidades definiu-se no arquivo **index.html** botões que, ao serem pressionados, executam uma determinada ação.

Ao longo do desenvolvimento, verificou-se que seria mais simples fazer o desacoplamento das funcionalidades em *scripts* separados. Desse modo, diferentes arquivos .js foram criados, para que cada funcionalidade fosse desenvolvida separadamente. Sendo assim, no arquivo **index.html**, esses arquivos foram declarados, tornando possível a junção de todas as funcionalidades que compõem a aplicação.

### 3.1 Eventos do Javascript

No desenvolvimento de aplicações web, é essencial que as páginas sejam responsivas e interativas. A linguagem Javascript nos fornece uma série de funcionalidades que permitem o desenvolvimento de eventos para a interatividade do usuário com as páginas que ele acessa. Os eventos representam ações e recorrências que ocorrem dentro do navegador do usuário, como cliques, movimentação do mouse, pressionamento de teclas no teclado,

dentre outras ações que um usuário, normalmente, pode executar dentro de uma página na web.

Para o desenvolvimento da aplicação web, capaz de construir e simular redes de Petri, é fundamental 3 principais eventos, sendo eles o *mousemove*, *mousedown* e *mouseup*. Esses eventos permitem que o usuário consiga interagir com a área da página dedicada ao desenvolvimento das redes de Petri.

### 3.1.1 mousemove

O evento *mousemove* é disparado sempre que ocorre o movimento do ponteiro do mouse sobre um determinado elemento [MDN Web Docs \(2024d\)](#). No caso da aplicação web desenvolvida, é acionado sempre que ocorre o movimento do ponteiro do mouse dentro da área delimitada para o desenvolvimento das redes de

```

1 element.addEventListener('mousemove', function(event) {
2     //code
3 });

```

Código 3.1 – Exemplo da chamada do evento *mousemove*

As propriedades *clientX* e *clientY* permitem definir a posição do ponteiro do mouse sempre que ele está se movendo. Utiliza-se desse evento, principalmente, para determinar se o cursor está sobre alguns dos elementos clicáveis na tela. Caso sim, ele altera o estilo do ponteiro. Quando está fora de algum elemento clicável, o ponteiro do mouse utiliza o estilo *default*, e quando está sobre a área de algum elemento clicável, o estilo é alterado para *pointer*.

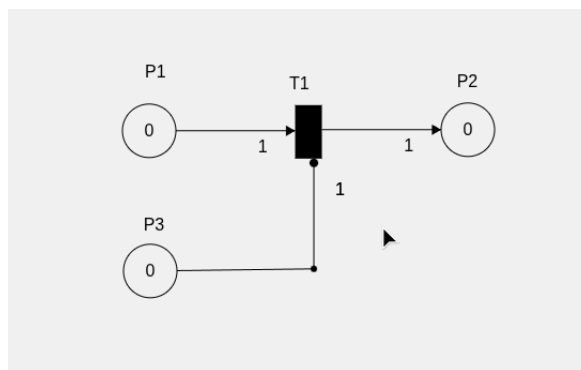


Figura 18 – Ponteiro do mouse com estilo *default*

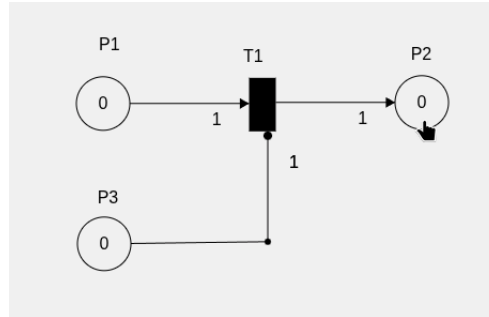


Figura 19 – Ponteiro do mouse com estilo *pointer*

O evento *mousemove* também é utilizado no momento de criação dos arcos, para renderizar o arco enquanto ele ainda está sendo desenhado. Por exemplo, ao clicar no primeiro elemento, lugar ou transição, onde o arco iniciará, uma posição inicial é detectada. Em seguida, espera-se que o usuário clique, ou num ponto intermediário do arco, ou no ponto final do arco. Enquanto o ponto final, no segundo elemento, não é detectado, utiliza-se da posição do ponteiro do mouse, nos eixos *x* e *y*, do evento *mousemove* para renderizar uma linha entre a última posição fixa detectada e a posição do ponteiro do mouse.

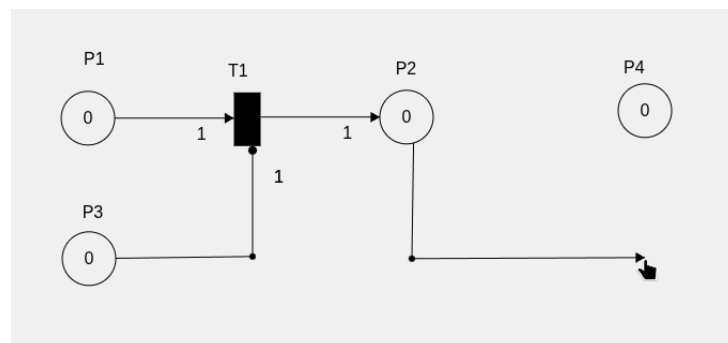


Figura 20 – Arco sendo renderizado antes de ser concluído com *mousemove*

### 3.1.2 mousedown

O evento *mousedown* é disparado sempre que ocorre o pressionamento de um botão do mouse sobre um determinado elemento [MDN Web Docs \(2024b\)](#). No caso da aplicação web desenvolvida, é acionado sempre que ocorre o clique do mouse dentro da área delimitada para o desenvolvimento das redes de Petri.

```

1 element.addEventListener('mousedown', function(event) {
2     //code
3 });

```

Código 3.2 – Exemplo da chamada do evento *mousedown*

Através do evento *mousedown* é possível determinar a posição **x** e **y** em que ocorreu um clique. Com isso, verifica-se qual dos botões de ação está pressionado. Por exemplo, caso o botão **Add Place** esteja ativado, um lugar, na posição **x** e **y**, onde ocorreu o clique, será adicionado. O mesmo vale para transições e arcos. Além disso, é possível determinar se o clique ocorreu dentro de algum elemento. Isso é essencial para determinar o elemento inicial e final de um arco.

Em combinação com o evento *mouseup* define-se, também, se algum botão do mouse está sendo pressionado continuamente, ou seja, se o usuário clicou e segurou o botão pressionado.

### 3.1.3 mouseup

O evento *mouseup* é disparado sempre que ocorre a soltura de um botão do mouse após ele ter sido pressionado [MDN Web Docs \(2024c\)](#). No caso da aplicação web desenvolvida, é acionado sempre que ocorre a soltura do botão após ele ter sido pressionado dentro da área delimitada para o desenvolvimento das redes de Petri.

```
1 element.addEventListener('mouseup', function(event) {
2     //code
3 });
```

Código 3.3 – Exemplo da chamada do evento *mouseup*

O evento *mouseup* é utilizado, principalmente, em conjunto com o evento *mousedown*. Essa junção permite saber quando um botão do mouse está sendo continuamente pressionado. Com essa funcionalidade, pode-se executar ações de movimentação dos elementos, como lugares, transições, nome de elementos, dentre outros.

```
1 element.addEventListener('mousedown', function(event) {
2     isPress = True
3 });
4
5 element.addEventListener('mouseup', function(event) {
6     isPress = False
7 });
```

Código 3.4 – Lógica para botão continuamente pressionado *isPress*

Quando ocorre o evento *mousedown*, a variável *isPress* recebe o valor verdadeiro. Enquanto o evento *mouseup* não ocorre, a variável permanece como verdadeiro, indicando para o código que o botão está sendo pressionado. Além disso, quando *isPress* é verdadeiro, e ele está sobre algum dos elementos, o estilo do cursor muda para *grabbing*, um estilo que mostra para o usuário que aquele elemento pode ser movimentado.

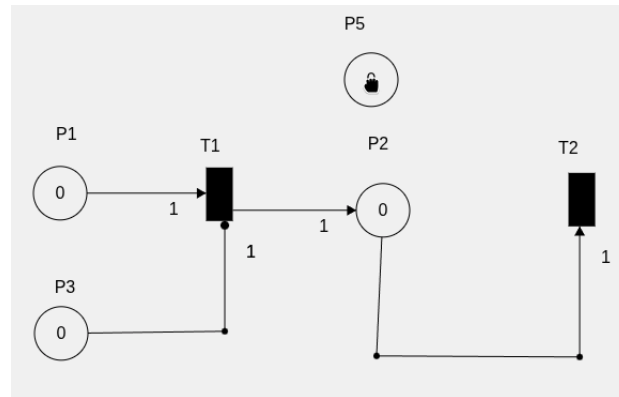


Figura 21 – Ponteiro do mouse com estilo *grabbing*

## 3.2 Criação dos elementos

### 3.2.1 Criação dos lugares

Para a criação dos lugares criou-se um primeiro botão através do arquivo *index.html*. No momento em que se pressiona o botão *Add Place* a função *buttonAddPlace()* é chamada e seu *script* é executado. Nessa função, a variável global *buttonPress* sofre a alteração de seu valor, caso seu valor seja diferente de *1*, o valor *1* é atribuído. Do contrário, seu valor retorna para zero.

```

1 function buttonAddPlace() {
2   cleanVariables();
3   if (buttonPress != 1) {
4     buttonPress = 1;
5   }
6   else {
7     buttonPress = 0;
8   }
9 }

```

Código 3.5 – Função *buttonAddPlace*

Quando *buttonPress = 1* espera-se que o usuário clique na área demarcada para a construção de sua rede de Petri. No momento do clique, o evento *mousedown* é detectado e seu *script* é executado. No *script* do evento *mousedown* se faz uma verificação do valor da variável *buttonPress*. Como o valor atribuído é *1* se faz uma chamada da função *addPlace()*, passando-se os valores *mouseX* e *mouseY*, obtidos com *mousedown*.

```

1 if (buttonPress == 1) {
2   addPlace(mouseX, mouseY);
3   buttonPress = 0;
4 }

```

Código 3.6 – Chamada da função *addPlace*

Na função *addPlace* constrói-se um objeto (*objPlace*) com as seguintes propriedades:

1. **id**: representa a identidade única que irá identificar esse objeto ao longo de todo o código;
2. **name**: semelhante ao id, mas editável pelo usuário. Esse é o valor mostrado na tela quando se cria o objeto lugar;
3. **namePositionX**: indica o valor do eixo X em que o *name* do objeto se encontra na tela;
4. **namePositionY**: indica o valor do eixo Y em que o *name* do objeto se encontra na tela;
5. **posX**: indica o valor do eixo X em que o objeto se encontra na tela;
6. **posY**: indica o valor do eixo Y em que o objeto se encontra na tela;
7. **connections**: array que identifica quais outros objetos estão ligados a ele;
8. **nTokens**: identifica quantas marcações o objeto lugar possui.

Após a definição desses valores, se faz a inserção do *objPlace* em *arrayPlaces*, onde se encontra todos os outros objetos com as mesmas propriedades. Também se faz o acréscimo de **1** na contagem de quantos lugares existem na rede até o momento.

```

1 function addPlace(mouseX, mouseY) {
2     objPlace = {
3         id: `place ${nPlaces + 1}`,
4         name: `place ${nPlaces + 1}`,
5         namePositionX: mouseX - 20,
6         namePositionY: mouseY - 35,
7         posX: mouseX,
8         posY: mouseY,
9         connections: [],
10        nTokens: 0
11    }
12    arrayPlaces.push(objPlace);
13    nPlaces += 1;
14 }

```

Código 3.7 – Função addPlace

Posteriormente à execução da função *addPlace()*, o valor da variável *buttonPress* é atribuído como **0**.

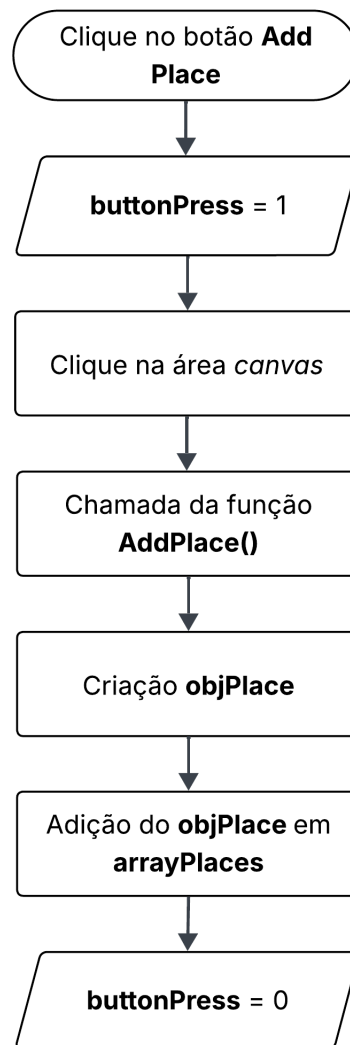


Figura 22 – Diagrama de fluxo para criação de um lugar

Para facilitar a visualização no momento da adição do lugar, um efeito sombreado, representando o lugar, é mostrado enquanto se movimenta o mouse, antes do clique na tela, na área destinada a construção da rede de Petri, conforme a Figura 23:

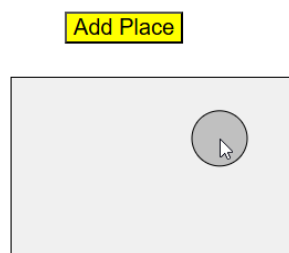


Figura 23 – Clique no botão **Add Place**

### 3.2.2 Criação das transições

De modo semelhante à criação de lugares, tem-se um segundo botão, criado através do arquivo *index.html*, denominada *Add Transition*. Seu modo de funcionamento é análogo ao botão *Add Place*. No momento de seu clique, a função *buttonAddTransition()* é chamada. Suas orientações também alteram o valor da variável global *buttonPress*. Quando seu valor é diferente de 2, o valor 2 é atribuído, caso contrário o valor retorna para zero.

```

1 function buttonAddTransition() {
2   cleanVariables()
3   if (buttonPress != 2) {
4     buttonPress = 2
5   }
6   else {
7     buttonPress = 0
8   }
9 }

```

Código 3.8 – Função *buttonAddTransition()*

No momento do clique do botão *Add Transition* espera-se que o usuário faça um clique na área destinada à construção da rede de Petri. Dessa forma, fazendo o clique, uma transição é adicionada na mesma posição em que o clique ocorreu. Nesse momento, o evento *mousedown* é chamado e se faz uma verificação do valor da variável *buttonPress*. Como o valor é igual a 2, a função *addTransition()* é chamada, passando-se os valores *mouseX* e *mouseY*.

```

1 if (buttonPress == 2) {
2   addTransition(mouseX, mouseY);
3   buttonPress = 0;
4 }

```

Código 3.9 – Chamada da função *addTransition()*

Na função *addTransition()* se constrói um objeto (*objTransition*) com as seguintes propriedades:

1. **id**: representa a identidade única da transição que irá identificar esse objeto ao longo de todo o código;
2. **name**: semelhante ao id, mas editável pelo usuário. Esse é o valor mostrado na tela quando se cria o objeto transição;
3. **namePositionX**: indica o valor do eixo X em que o *name* da transição se encontra na tela;

4. **namePositionY**: indica o valor do eixo Y em que o *name* da transição se encontra na tela;
5. **posX**: indica o valor do eixo X em que a transição se encontra na tela;
6. **posY**: indica o valor do eixo Y em que a transição se encontra na tela;
7. **connections**: array que identifica quais outros objetos estão ligados a essa transição;
8. **isEnabled**: valor booleano que indica se as exigências para ativação da transição estão sendo cumpridas.

Após as definições desses valores, se faz a inserção do *objTransition* em *arrayTransitions*, onde se encontram todas as outras transições com as mesmas propriedades. Também se faz o acréscimo de **1** na contagem de quantas transições existem até o momento na rede.

```

1 function addTransition(mouseX, mouseY) {
2     objTransition = {
3         id: `transition ${nTransitions + 1}`,
4         name: `T${nTransitions + 1}`,
5         namePositionX: mouseX - 20,
6         namePositionY: mouseY - 35,
7         posX: mouseX - transitionWidth / 2,
8         posY: mouseY - transitionHeight / 2,
9         connections: [],
10        isEnabled: false
11    }
12    arrayTransitions.push(objTransition);
13    nTransitions += 1;
14 }

```

Código 3.10 – Função addTransition()

Posteriormente à execução da função *addTransition()*, o valor da variável *buttonPress* é atribuído como **0**

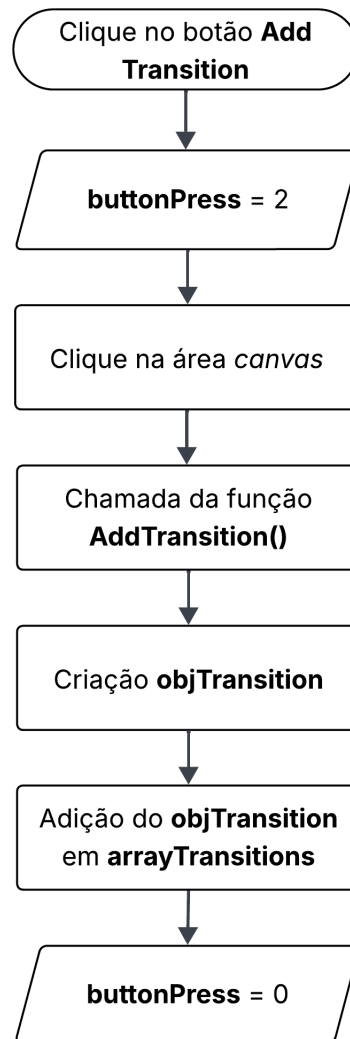


Figura 24 – Diagrama de fluxo para criação de uma transição

Para facilitar a visualização no momento de adição da transição, o botão pressionado permanece na cor amarela enquanto o clique na tela não ocorre para adição da transição. Além disso, um efeito sombreado, em forma de uma transição acompanha o cursor do mouse enquanto não há o clique, conforme 25:



Figura 25 – Clique no botão *Add Transition*

### 3.2.3 Criação dos arcos

Para a criação dos arcos foram desenvolvidos dois novos botões, denominados **Add Arc**, para a criação de arcos normais, e **Add Inh Arc**, para a criação de arcos inibidores. No momento do clique, eles desempenham funções semelhantes, diferenciando-se apenas pela valor da variável **buttonPress** e **arcType**. O papel dessas variáveis é indicar o botão que foi pressionado e o tipo de arco selecionado. Além disso, a variável booleana **drawArc** recebe o valor **true** indicando que um arco será desenhado na tela.

```

1 function buttonAddArc() {
2   cleanVariables();
3   if (buttonPress != 3) {
4     buttonPress = 3;
5     drawArc = true;
6   }
7   arcType = "normal";
8 }

```

Código 3.11 – Botão **Add Arc**

```

1 function buttonAddInhArc() {
2   cleanVariables()
3   if (buttonPress != 4) {
4     buttonPress = 4
5     drawArc = true
6   }
7   arcType = "inhibitor"
8 }

```

Código 3.12 – Botão **Add Inh Arc**

No momento de acionamento de algum desses dois botões espera-se que o usuário inicie o desenho de um arco. Para isso, inicialmente, ele deve selecionar o ponto inicial do desenho desse arco. Para arcos normais, o ponto inicial pode ser tanto um lugar, quanto uma transição. Para os arcos inibidores, o ponto inicial deve ser, obrigatoriamente, um lugar. Não é possível iniciar o desenho de um arco inibidor a partir de uma transição. Quando o usuário faz o primeiro clique, posterior ao clique do botão, o evento **mousedown** é ativado e a verificação da variável **buttonPress** ocorre. Caso **buttonPress** seja igual a **3** ou **4** a função **addArc()** é chamada. Como o valor da variável **buttonPress** não se altera ao longo do desenho do arco, sempre que há um clique na tela, há a chamada da função **addArc()**.

A cada chamada da função **addArc()** se faz uma verificação de algumas variáveis temporárias que auxiliam a construção dos arcos, são elas:

1. ***startingPositionArc***: array que indica o ponto inicial, nos eixos X e Y da tela, do arco, além de conter o id do item em que o arco se inicia;
2. ***intermediatePoints***: array que indica todos os pontos intermediários, nos eixos X e Y da tela, depois do ponto inicial e antes do ponto final;
3. ***endPositionArc***: array que indica a ponto final, nos eixos X e Y da tela, do arco, além de conter o id do item em que o arco termina.

A primeira verificação que se faz na função ***addArc()*** é a existência de pontos intermediários. Para essa verificação analisa-se o tamanho do array ***startingPositionArc*** e ***endPositionArc***. Se o primeiro for maior que **0**, e o último igual a **0**, significa que o clique foi feito para a construção de um ponto intermediário do arco. Dessa forma, se faz uma inserção no array ***intermediatePoints*** da posição dos eixos X e Y, passando-se os valores das variáveis ***mouseX*** e ***mouseY***.

```

1 if (startingPositionArc.length > 0 && endPositionArc.length == 0) {
2     intermediatePoints.push([mouseX, mouseY]);
3 }

```

Código 3.13 – Verificação de pontos intermediários

Caso a condição anterior não seja atendida, se entende que o ponto ***X*** e ***Y*** não representa um ponto intermediário do arco. Posteriormente, se percorre os arrays ***arrayPlaces*** e ***arrayTransitions***. Para cada uma das posições de ambos os arrays se faz a verificação, através das funções ***insidePlace()*** e ***insideTransition()***, se o clique do mouse ocorreu dentro de algum dos lugares ou transições que estão dispostos na tela. Caso o clique ocorra dentro de algum desses dois elementos, o ponto ***X*** e ***Y*** será gravado na variável ***startingPositionArc***, juntamente com o ***id*** do elemento em que o arco se iniciou.

### 3.2.4 Para lugares

Caso a chamada da função ***insidePlace()*** retorne ***true*** e a variável ***startingPositionArc*** não conter nenhum valor, o ponto inicial, com os eixos ***X*** e ***Y*** e o ***id*** do lugar, são gravados nas propriedades do arco. Além disso, no lugar em quem o arco se iniciou, insere-se a informação de que aquele arco se iniciou ali. A variável auxiliar ***typeElement*** também recebe o valor ***“place”***, para indicar que aquele arco se iniciou num lugar.

Caso a verificação anterior não seja atendida, se faz uma nova verificação. Se a chamada da função ***insidePlace()*** retornar ***true*** e a variável ***typeElement*** contiver o valor ***“transition”***, quer dizer que o arco se iniciou em uma transição, e agora está finalizando em um lugar. Com isso, se adiciona o valor ***X*** e ***Y*** do clique e o ***id*** do lugar

em que o arco está finalizando na variável *endPositionArc* que, posteriormente, será adicionado nas propriedades do arco. O lugar recebe a informação de que esse arco finalizou nele.

Com a finalização do arco, a variável *drawArc* recebe o valor *false* e a *typeElement* recebe *null*

```

1 for (var place of arrayPlaces) {
2     isInsidePlace = insidePlace(mouseX, mouseY, place.posX, place.posY);
3     posEdge = adjustedPositionArcPlace(mouseX, mouseY, place.posX, place.
4         posY);
5     posEdge.push(place.id);
6     if (isInsidePlace && startingPositionArc.length == 0) {
7         startingPositionArc.push(posEdge);
8         place.connections.push(`Start Arc ${nArcs + 1}`);
9         start = place.id;
10        typeElement = "place";
11    }
12    else if (isInsidePlace && typeElement == "transition") {
13        endPositionArc.push(posEdge);
14        place.connections.push(`Finish Arc ${nArcs + 1}`);
15        end = place.id;
16        drawArc = false;
17        typeElement = null;
18    }
19 }

```

Código 3.14 – Construção de arco verificando os lugares

### 3.2.5 Para transições

Caso a chamada da função *insideTransition()* retorne *true* e a variável *startingPositionArc* não conter nenhum valor, o ponto inicial, com os eixos *X* e *Y* e o *id* da transição, são gravados nas propriedades do arco. Além disso, na transição em quem o arco se iniciou, insere-se a informação de que aquele arco se iniciou ali. A variável auxiliar *typeElement* também recebe o valor “*transition*”, para indicar que aquele arco se iniciou numa transição.

Caso a verificação anterior não seja atendida, se faz uma nova verificação. Se a chamada da função *insideTransition()* retornar *true* e a variável *typeElement* contiver o valor “*place*”, quer dizer que o arco se iniciou em um lugar, e agora está finalizando em uma transição. Com isso, se adiciona o valor *X* e *Y* do clique e o *id* da transição em que o arco está finalizando na variável *endPositionArc* que, posteriormente, será adicionado nas propriedades do arco. A transição recebe a informação de que esse arco finalizou nele.

Com a finalização do arco, a variável *drawArc* recebe o valor *false* e a *typeElement* recebe *null*

```

1 for (var transition of arrayTransitions) {
2     isInsideTransition = insideTransition(mouseX, mouseY, transition.posX,
3         transition.posY);
4     mouseXY = [mouseX, mouseY, transition.id];
5     if (isInsideTransition && startingPositionArc.length == 0 && arcType ==
6         "normal") {
7         startingPositionArc.push(mouseXY);
8         transition.connections.push(`Start Arc ${nArcs + 1}`);
9         start = transition.id;
10        typeElement = "transition";
11    }
12    else if (isInsideTransition && typeElement == "place") {
13        endPositionArc.push(mouseXY);
14        transition.connections.push(`Finish Arc ${nArcs + 1}`);
15        end = transition.id;
16        drawArc = false;
17        typeElement = null;
18    }
19 }

```

Código 3.15 – Construção de arco verificando as transições

### 3.2.6 Criando o arco com as propriedades

Quando as variáveis temporárias *startingPositionArc* e *endPositionArc* apresentarem valores atribuídos significa que todas as propriedades para se construir um arco estão satisfeitas, são elas:

1. **id:** representa a identidade única do arco que irá identificar esse objeto ao longo de todo o código;
2. **name:** identificador visual e textual do arco na tela;
3. **type:** indica o tipo do arco, se ele é do tipo normal ou inibidor;
4. **startingPositionArc:** indica o valor dos eixos X e Y em que o arco se inicia;
5. **endPositionArc:** indica o valor dos eixos X e Y em que o arco finaliza;
6. **start:** indica o id do elemento em que o arco se inicia;
7. **end:** indica o id do elemento em que o arco finaliza;
8. **intermediatePoints:** cada posição representa o valor dos eixos X e Y de um ponto intermediário do arco;

9. **isEnabled**: valor booleano que indica se as exigências para ativação daquele arco estão satisfeitas.
10. **weight**: indica o peso do arco.
11. **weightPos**: indica o valor dos eixos X e Y em que o peso do arco será mostrado na tela.

Tendo essas propriedades definidas faz-se a adição do *objArc* em *arrayArcs*. Por fim, as variáveis temporárias são atribuídas com valores nulos para que o próximo arco possa ser construído.

```
1
2 if (startingPositionArc.length > 0 && endPositionArc.length > 0) {
3   intermediatePoints.pop();
4   objArc = {
5     id: `Arc ${nArcs + 1}`,
6     name: `A${nArcs + 1}`,
7     type: arcType,
8     startingPositionArc: startingPositionArc,
9     endPositionArc: endPositionArc,
10    start: start,
11    end: end,
12    intermediatePoints: intermediatePoints,
13    isEnabled: false,
14    weight: 1,
15    weightPos: {x: null, y: null}
16  }
17  arrayArcs.push(objArc);
18  nArcs += 1;
19  startingPositionArc = [];
20  endPositionArc = [];
21  intermediatePoints = [];
22  start = null;
23  end = null;
24 }
```

Código 3.16 – Criando o arco com as propriedades

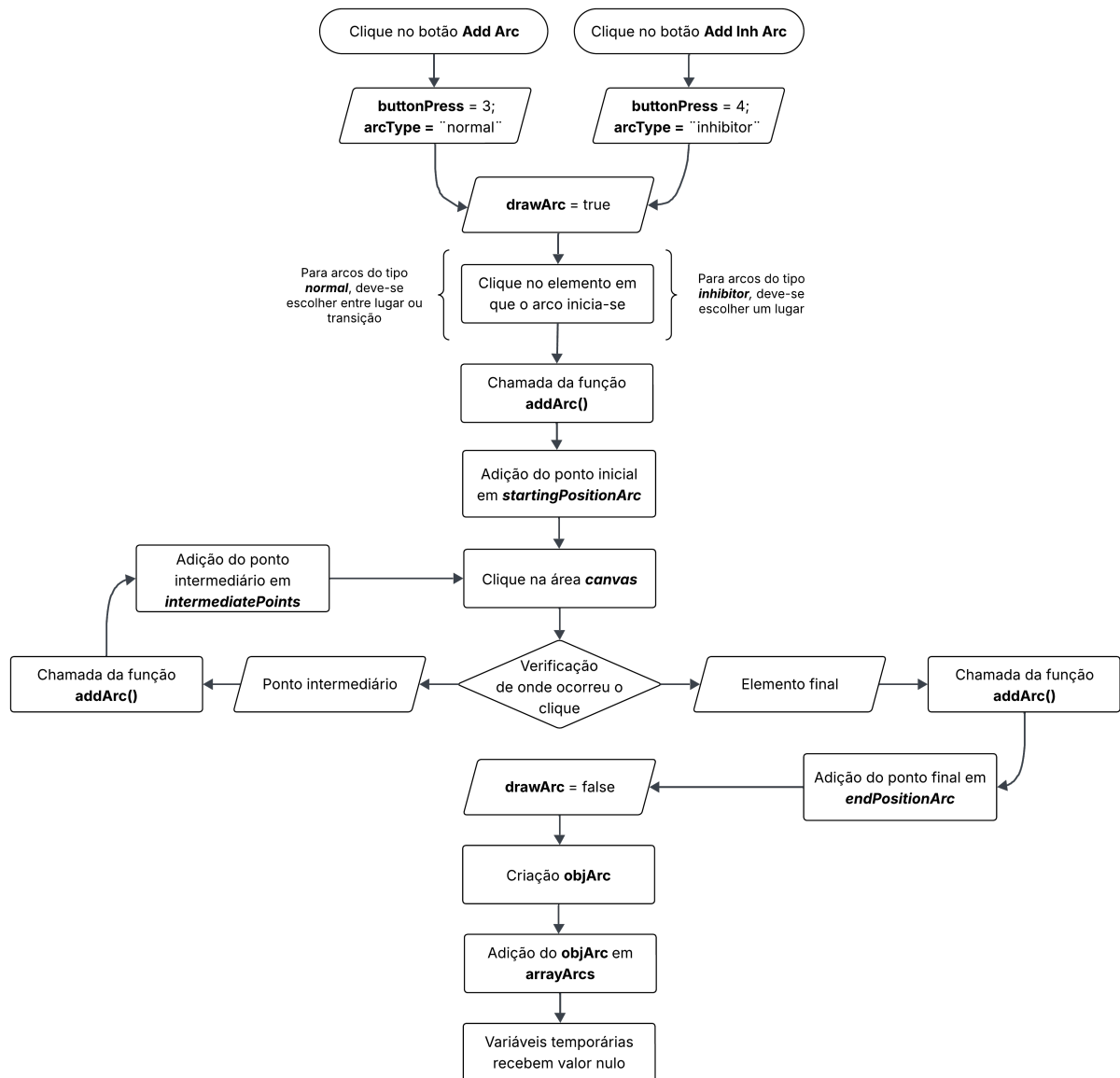


Figura 26 – Diagrama de fluxo para criação de um arco

### 3.3 Renderizando elementos na tela

A renderização de elementos visuais na interface é uma das funcionalidades essenciais de uma aplicação web moderna, especialmente quando se trata da representação gráfica de estruturas conceituais. Neste projeto, cujo objetivo principal é possibilitar a criação e manipulação de redes de Petri, torna-se indispensável a visualização clara e interativa dos componentes que constituem esse tipo de rede.

De modo simples, os elementos de uma rede de Petri são representados de forma gráfica por meio de figuras geométricas já conhecidas pela maioria das pessoas, tornando mais simples a analogia dos elementos das redes de Petri com figuras geométricas já conhecidas. Os lugares são representados por círculos, as transições por retângulos, e os arcos que

ligam esses elementos são ilustrados como setas direcionais. Elementos adicionais, como marcações, pesos e títulos, são exibidas como textos e números renderizados diretamente na tela, complementando a representação visual e fornecendo os dados necessários para a interpretação correta da rede.

O HTML fornece a *tag* `<canvas>`, que permite o desenvolvimento de figuras geométricas, gráficos e textos. No contexto desse projeto, o *canvas* é essencial. Primeiramente, fornecendo uma área na tela para o desenvolvimento e manipulação das redes de Petri. Posteriormente, fornecendo uma API que pode ser manipulada, através do Javascript, para a criação dos elementos gráficos.

```

1 <div id="canvas-container">
2   <canvas id="petri-net-canvas" width="1600" height="650"></canvas>
3 </div>

```

Código 3.17 – Definição da *tag* `<canvas>` no HTML

Após a chamada do elemento `<canvas>` no arquivo *index.html* uma área retangular com altura e largura, definidas nos métodos *width* e *height*, é renderizada na tela. Com essa definição feita, é possível a manipulação do que será renderizado na tela, dentro da área *canvas* criada.

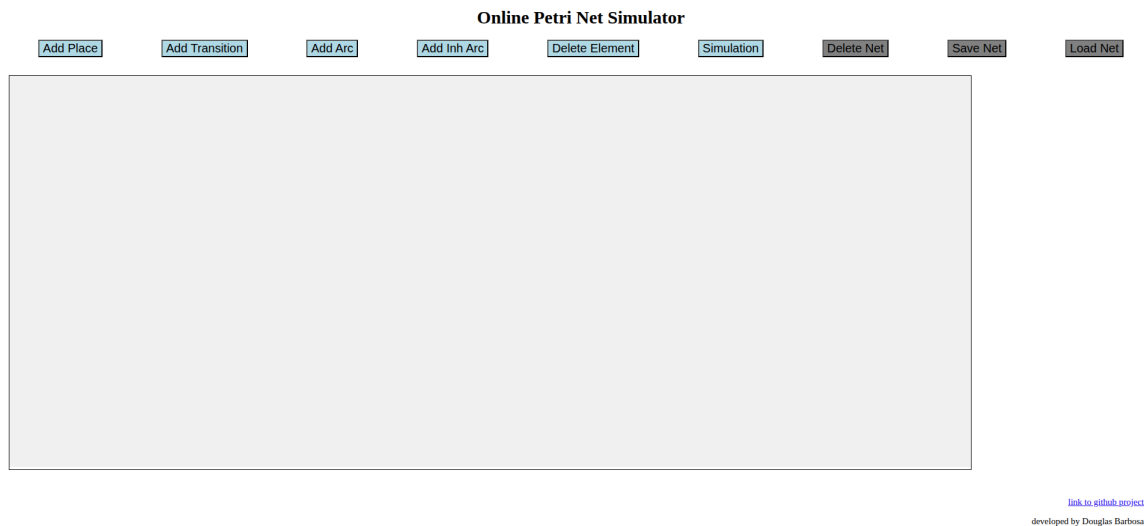


Figura 27 – Retângulo da área *canvas* logo abaixo dos botões da aplicação web.

Tendo a área *canvas* definida, inicia-se a manipulação dos elementos gráficos que irão representar as redes de Petri. Para tornar possível a interatividade de diferentes elementos criou-se uma função de *loop*. Essa função tem como principal objetivo apagar e renderizar os elementos representados na área *canvas* de forma contínua. Esse processo de apagar os elementos e renderizar novamente, várias vezes por segundo, permite criar animações, tornando possível a movimentação dos elementos e a edição das informações na tela.

```

1 function loop() {
2     window.requestAnimationFrame(loop, canvas);
3     render();
4     buttonColors();
5     if (simulation) {
6         netSimulationEnables()
7     }
8 }

```

Código 3.18 – Função *loop*

O método Javascript *window.requestAnimationFrame(loop, canvas)* informa ao navegador que se deseja executar animações. Além disso, ele sincroniza a taxa de atualização, em **Hz**, das animações, com a taxa de atualização do monitor do usuário. Posteriormente, faz-se a chamada da função *render()*, que irá renderizar os elementos na área *canvas*. Também, a função *buttonColors()* é acionada. Ela verifica qual botão está pressionado e, com base nas informações, altera a cor do botão que indica a ação que será executada.

Além, faz-se a verificação da variável *simulation*, que indica ao código se está ocorrendo a ação de simulação da rede de Petri. Caso sim, a função *netSimulationEnables()*, responsável pela simulação da rede de Petri, é acionada.

### 3.3.1 Função de renderização

A função *render()* é responsável pela renderização de todos os elementos dentro da área *canvas* destinada a construção e simulação das redes de Petri. Ela utiliza a *API* do Javascript para a manipulação do *canvas*. Para cada tipo de elemento inicia-se o desenho com *beginPatch()* e se finaliza com *closePatch()*. Suas atribuições incluem:

1. renderização dos lugares;
2. renderização das transições;
3. renderização dos arcos;
4. renderização dos pontos intermediário dos arcos;
5. renderização do triângulo ou círculo na ponta do arco, a depender do tipo de arco;
6. renderização do arco, enquanto ele é criado, conforme a Figura 20;
7. renderização do lugar após o botão **Add Place** ser pressionado, e antes de ser adicionado com *mousedown*;

8. renderização da transição após o botão **Add Transition** ser pressionado, e antes de ser adicionado com *mousedown*.

### 3.3.1.1 Renderização dos lugares

Um lugar é, graficamente, um círculo. Ao manipular o *canvas* é possível construir um círculo passando os seguintes parâmetros: as posições **x** e **y** do centro do círculo e o seu raio.

```

1 for (var place of arrayPlaces) {
2     ctx.beginPath();
3     ctx.arc(place.posX,place.posY,radius,0,2*Math.PI)
4     ctx.fillText(place.name, place.namePositionX, place.namePositionY);
5     textWidth = ctx.measureText(place.nTokens).width;
6     textHeight = sizeFontName - 5;
7     ctx.fillText(place.nTokens, place.posX - textWidth / 2, place.posY
8         + textHeight / 2)
9     ctx.closePath();
10    ctx.stroke();
11 }

```

Código 3.19 – Renderizando um lugar

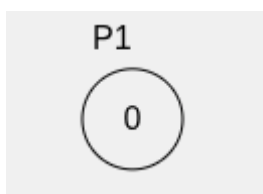


Figura 28 – Lugar P1 renderizado na tela

Além disso, um lugar possui outras características, como o número de marcações e o seu nome. Dessa forma, um número, representando a quantidade de marcações é renderizado no centro do círculo. Um outro texto, representando o nome, é renderizado um pouco acima do círculo, conforme a Figura 28. A renderização ocorre de forma recursiva em cada um dos lugares que estão informados em *arrayPlaces*.

### 3.3.1.2 Renderização das transições

Uma transição é, graficamente, um retângulo. É possível construir um retângulo passando os seguintes parâmetros: posição **x** e **y** da ponta inferior esquerda do retângulo, largura e altura, em *pixels*. Além disso, a transição possui a cor preta quando a propriedade *isEnabled* é falsa. Quando *isEnabled* é verdadeiro, e a simulação está ativada, a cor da transição é vermelha (Figura 29).

```

1 for (var transition of arrayTransitions) {

```

```

2   ctx.beginPath();
3   ctx.rect(transition.posX,transition.posY,transitionWidth,
         transitionHeigth)
4   if (transition.isEnable && simulation) {
5       ctx.fillStyle = 'red'
6   }
7   else {
8       ctx.fillStyle = 'black'
9   }
10  ctx.fill();
11  ctx.closePath();
12  ctx.fillStyle = 'black'
13  ctx.fillText(transition.name, transition.namePositionX, transition.
         namePositionY);
14 }

```

Código 3.20 – Renderizando uma transição

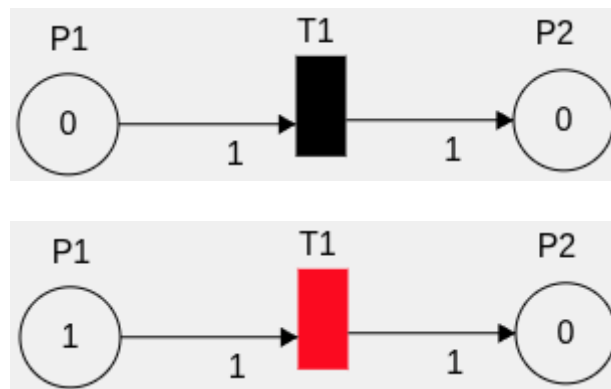


Figura 29 – Renderização da transição T1 de forma não ativada e ativada

Como o parâmetro a ser passado para a *API* do Javascript para a construção de um retângulo em uma área **canvas** exige as coordenadas **x** e **y** do canto inferior esquerdo do retângulo, faz-se uma compensação, utilizando os valores de altura e largura, para se obter a posição do centro do retângulo. Dessa forma, ao posicionar e movimentar uma transição, se faz pela posição do centro. A renderização ocorre de forma recursiva em cada uma das transições que estão informados em *arrayTransitions*.

### 3.3.1.3 Renderização dos arcos

Um arco é, graficamente, uma linha. No caso específico das redes de Petri, tem-se 2 principais tipos de arcos, normal e inibidor. O arco normal é representado como uma seta, o arco inibidor é semelhante, mas possui um círculo na ponta, ao invés de um triângulo (Figura 30). O processo é feito recursivamente em cada um dos arcos contidos em *arrayArcs*.

```

1  for (var arc of arrayArcs) {
2      ctx.beginPath();
3      ctx.moveTo(arc.startingPositionArc[0][0], arc.startingPositionArc
4          [0][1]);
5      var n = 0
6      for (var points of arc.intermediatePoints) {
7          ctx.lineTo(points[0], points[1])
8      }
9      ctx.lineTo(arc.endPositionArc[0][0], arc.endPositionArc[0][1])
10     ctx.stroke();
11     ctx.closePath();
12     for (var points of arc.intermediatePoints) {
13         ctx.beginPath()
14         ctx.arc(points[0], points[1], radiusPointArc, 0, 2*Math.PI)
15         ctx.fill()
16         ctx.closePath()
17     }
18     nPointsIntermediate = arc.intermediatePoints.length
19     if (nPointsIntermediate == 0) {
20         trianglePoints = trianglePointsCalculation (arc.startingPositionArc
21             [0][0], arc.startingPositionArc[0][1], arc.endPositionArc[0][0],
22             arc.endPositionArc[0][1])
23     }
24     else if (nPointsIntermediate > 0) {
25         trianglePoints = trianglePointsCalculation (arc.intermediatePoints[
26             nPointsIntermediate - 1 ][0], arc.intermediatePoints[
27             nPointsIntermediate - 1 ][1], arc.endPositionArc[0][0], arc.
28             endPositionArc[0][1])
29     }
30     A = {x: arc.endPositionArc[0][0], y: arc.endPositionArc[0][1]}
31     B = {x: trianglePoints[0], y: trianglePoints[1]}
32     C = {x: trianglePoints[2], y: trianglePoints[3]}
33     pointsWeigth = pointsWeigthCalculation(A, B)
34     arc.weightPos.x = pointsWeigth.x
35     arc.weightPos.y = pointsWeigth.y
36     ctx.beginPath();
37     ctx.fillText(arc.weight, arc.weightPos.x, arc.weightPos.y)
38     if (arc.type == "normal") {
39         ctx.moveTo(A.x, A.y);
40         ctx.lineTo(B.x, B.y);
41         ctx.lineTo(C.x, C.y);
42         ctx.fill()
43         ctx.closePath();
44     }
45     else if (arc.type == "inhibitor") {
46         ctx.beginPath();
47         ctx.fillText(arc.weight, arc.weightPos.x, arc.weightPos.y)

```

```

42     if (nPointsIntermediate == 0) {
43         circleXY = centerCircle(arc.startingPositionArc[0][0], arc.
           startingPositionArc[0][1], arc.endPositionArc[0][0], arc.
           endPositionArc[0][1])
44     }
45     else if (nPointsIntermediate > 0) {
46         circleXY = centerCircle(arc.intermediatePoints[
           nPointsIntermediate - 1][0], arc.intermediatePoints[
           nPointsIntermediate - 1][1], arc.endPositionArc[0][0], arc.
           endPositionArc[0][1])
47     }
48     ctx.arc(circleXY[0], circleXY[1], radiusPointInhArc, 0, 2*Math.PI)
49     ctx.fill()
50     ctx.closePath();
51 }
52 }

```

Código 3.21 – Renderizando um arco

Inicialmente, para a renderização do arco, há uma detecção da posição  $x$  e  $y$ , obtida por meio do evento *mousedown*. Esse primeiro ponto precisa ser, necessariamente, dentro de algum elemento, lugar ou transição para arcos normais e, apenas lugar, para arcos inibidores. Tendo a primeira posição  $x$  e  $y$  definida, há duas opções: ou o usuário seleciona o elemento final do arco, ou ele seleciona um ponto intermediário. No primeiro caso, uma linha entre o ponto inicial e final é renderizada. Caso seja um arco normal, um triângulo na ponta é renderizado que, junto com a linha, dá a ilusão de ser uma seta direcional. No caso do arco inibidor, um círculo é renderizado na ponta final da linha.

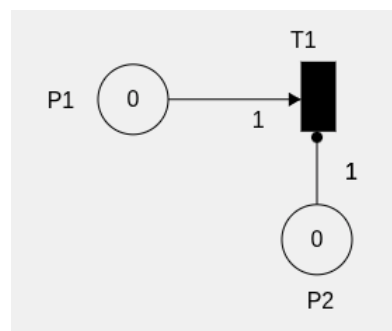


Figura 30 – Arco normal e inibidor chegando transição T1

Há também o segundo caso, em que o usuário cria um ponto intermediário. Nesse caso, uma linha entre o ponto inicial e o ponto intermediário é criada. Na posição  $x$  e  $y$  desse ponto intermediário é criado um círculo, para indicar que ali há um ponto intermediário, e que pode ser movimentado posteriormente. Podem existir infinitos pontos intermediários, até que o usuário clique no elemento final, quando o desenho do arco finaliza. Na ponta final, há o triângulo ou círculo, a depender do tipo de arco.

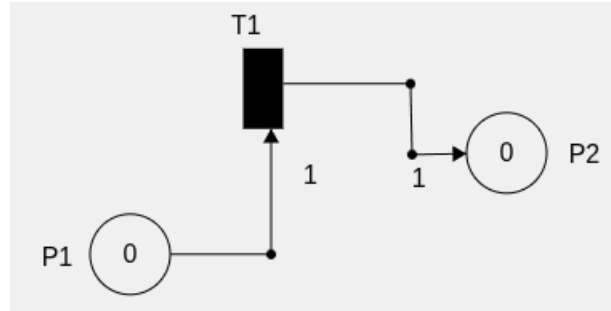


Figura 31 – Arcos com pontos intermediários

Além disso, o arco é mostrado, em tempo real, enquanto é desenhado. Faz-se isso utilizando o ponto inicial, juntamente com os pontos intermediários, caso existam, e a posição  $x$  e  $y$  do ponteiro do mouse, obtida com *mousemove*. O processo é o mesmo que o anterior, diferenciado-se pelo fato do ponto final ser o obtido pelas propriedades *clientX* e *clientY* do evento *mousemove* (Figura 20).

### 3.4 Movimentando elementos na tela

A movimentação de elementos é essencial para a construção de uma rede de Petri. A partir do momento em que os elementos são dispostos na tela, eles necessitam ser movimentados para uma melhor visualização e compreensão da rede. Os elementos, por vezes, podem ficar sobrepostos e mal distribuídos no momento de sua criação, gerando desconforto visual. Os elementos que podem ser movidos são:

1. lugares;
2. transições;
3. nome dos elementos;
4. pontos intermediários dos arcos.

Outros elementos, como número de *tokens*, peso dos arcos, além dos pontos  $x$  e  $y$ , iniciais e finais dos arcos, acompanham a movimentação dos elementos principais, que podem ser movidos. Ou seja, não é possível movê-los diretamente.

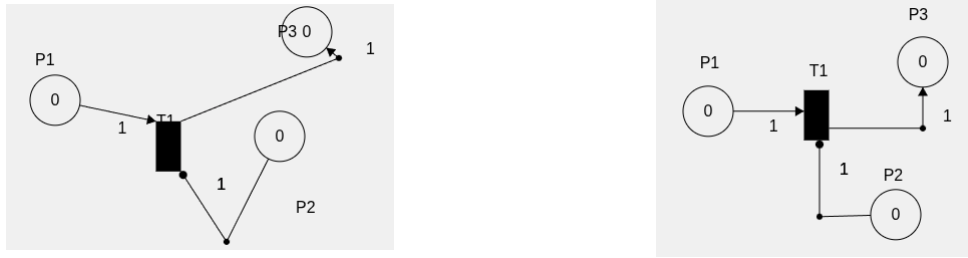


Figura 32 – Elementos mal distribuídos e movimentados para uma melhor visualização.

Além disso, alguns critérios precisam ser atendidos para que o movimento do elemento ocorra. É necessário que o cursor do mouse seja pressionado e segurado dentro da área do elemento a ser movimentado. Para isso, se torna fundamental descobrir se um clique ocorreu dentro da área dos elementos que podem se movimentar. No caso dos lugares e pontos intermediários, se calcula se o clique ocorreu dentro da área do círculo que os formam. No caso das transições e nome dos elementos, se calcula com base no retângulo que os formam.

### 3.4.1 Verificando clique em círculos

Ao se clicar na área **canvas** obtém-se o ponto **x** e **y** onde ele ocorreu. Assim, tem-se 2 possibilidades: ocorreu dentro do círculo, no caso, lugar ou ponto intermediário, ou fora. Para determinar se o clique ocorreu dentro de algum dos círculos distribuídos na área **canvas** calcula-se o comprimento entre o ponto **x** e **y** do clique e o ponto **x** e **y** central de cada círculo [Macoratti \(2014\)](#), de forma recursiva. Caso esse comprimento seja inferior ou igual ao raio de algum desses círculos, podemos afirmar que ele ocorreu dentro de algum elemento. Caso contrário, ocorreu fora.

O cálculo é feito utilizando-se da fórmula para distância entre 2 pontos.

$$d_{AB}^2 = (x_B - x_A)^2 + (y_B - y_A)^2 \quad (3.1)$$

```

1 function insidePlace(mouseX,mouseY,placeX,placeY) {
2     var a = mouseX - placeX;
3     var b = mouseY - placeY;
4     var c = (Math.pow(a,2) + Math.pow(b,2) <= Math.pow(radius,2))
5     return c;
6 }
7 for (var place of arrayPlaces) {
8     isInsidePlace = insidePlace(mouseX, mouseY, place.posX, place.posY)
9     if (isInsidePlace && isPress){
10        place.posX = mouseX;
11        place.posY = mouseY;
12    }
13 }

```

---

 Código 3.22 – Verificando clique e atualizando posição do círculo

Tendo o retorno da função e a variável *isPress* como verdadeiro, há a satisfação das condições necessárias para movimentar o elemento. Dessa forma, a nova posição do centro do círculo é a posição do ponteiro do mouse, obtida com *mousemove*. A movimentação ocorrerá até que o botão do mouse deixe de ser pressionado, acarretando no evento *mouseup*.

### 3.4.2 Verificando clique em retângulos

As transições e nome de elementos podem ser caracterizados como retângulos dentro da área *canvas*. Ao clicar na área *canvas* obtemos as posições **x** e **y** do clique. Para determinarmos se o clique ocorreu dentro de algum dos retângulos verifica-se e compara-se o ponto **x** e **y** do clique do mouse com o ponto inferior esquerdo do retângulo [Manzoni \(2013\)](#). Faz-se a verificação da seguinte forma:

1.  $mouseX \geq transitionX$ ;
2.  $mouseX \leq transitionX + transitionWidth$ ;
3.  $mouseY \geq transitionY$ ;
4.  $mouseY \leq transitionY + transitionHeight$ .

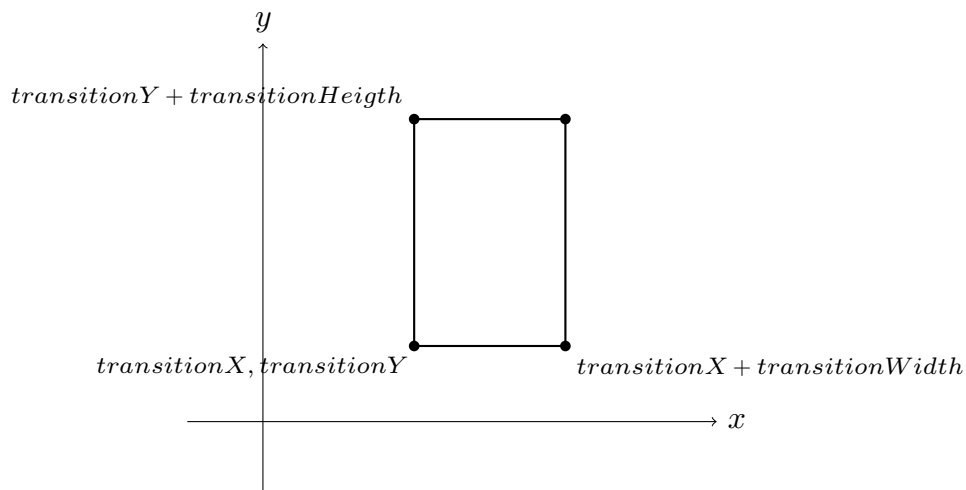


Figura 33 – Transição representada no plano cartesiano.

```

1 function insideTransition(mouseX, mouseY, transitionX, transitionY) {
2   var a = (mouseX >= transitionX) && (mouseX <= transitionX +
      transitionWidth) && (mouseY >= transitionY) && (mouseY <=
      transitionY + transitionHeight)

```

```

3     return a;
4 }
5
6 for (var transition of arrayTransitions) {
7     isInsideTransition = insideTransition(mouseX, mouseY, transition.posX,
8         transition.posY)
9     if (isPress && isInsideTransition) {
10        transition.posX = mouseX - transitionWidth / 2;
11        transition.posY = mouseY - transitionHeigth / 2;
12    }
13 }

```

Código 3.23 – Verificando clique e atualizando posição do retângulo

Caso todas essas comparações sejam verdadeiras, pode-se concluir que o clique ocorreu dentro de algum retângulo. Com isso, tendo *isPress* verdadeira, move-se o retângulo. A posição central do retângulo será a mesma do ponteiro do mouse, obtida após o evento *mouseup*.

## 3.5 Exclusão

A partir do momento em que elementos são criados, há a necessidade de poder excluí-los, seja para corrigir algum erro, testar novas possibilidades, ou seja para deletar tudo e iniciar de novo. Na aplicação web desenvolvida buscou-se focar na exclusão tanto dos elementos individualmente, no caso, lugares, transições e arcos, quanto também pela exclusão da rede por completo, excluindo tudo de uma única vez.

### 3.5.1 Deletando elementos

Para deletar um elemento, de forma individual, é necessário clicar no botão *Delete Element*. A partir dessa ação há três possibilidades:

1. exclusão de um lugar;
2. exclusão de uma transição;
3. exclusão de um arco.

Para deletar um lugar, ou transição, o processo é semelhante. Além de deletar o elemento em si, há a necessidade de deletar os arcos que chegam e que saem, visto que, os arcos são dependentes desses elementos. Após o clique no botão *Delete Element* há a mudança do valor da variável *buttonPress* para **5** e, em seguida, quando ocorrer o evento *mousedown*, há a chamada da função *deleteElements()*.

A função percorre os três arrays principais de elementos, *arrayPlaces*, *arrayTransitions* e *arrayArcs*. Dessa forma, há a verificação da ocorrência de um clique dentro da área de algum dos elementos que podem ser excluídos: lugar, transição ou arco. No caso dos arcos, verifica-se se o clique ocorreu na área de algum dos pontos intermediários, ou na área da ponta do arco, sendo a área circular ou triangular, a depender do tipo de arco, normal ou inibidor. Caso a condição seja verdadeira, exclui-se o elemento do seu *array* correspondente.

```

1  canvas.addEventListener('mousedown', (event) => {
2
3      const rect = canvas.getBoundingClientRect();
4      const mouseX = event.clientX - rect.left;
5      const mouseY = event.clientY - rect.top;
6
7      if (buttonPress == 5) {
8          deleteElements(mouseX, mouseY)
9      }
10
11     function deleteElements(mouseX, mouseY) {
12
13         for (var place of arrayPlaces) {
14             isInsidePlace = insidePlace(mouseX, mouseY, place.posX, place.
15                 posY)
16             if (isInsidePlace) {
17                 if (place.connections.length > 0) {
18                     for (var connectionPlace of place.connections) {
19                         arcIdPlace = `${connectionPlace.substring(
20                             connectionPlace.indexOf('□') + 1)}`
21                         for (var transition of arrayTransitions) {
22                             for (var connectionTransition of transition.
23                                 connections) {
24                                 arcIdTransition = `${connectionTransition.
25                                     substring(connectionTransition.indexOf('
26                                         □') + 1)}`
27                                 if (arcIdTransition == arcIdPlace) {
28                                     indexConection = transition.connections
29                                         .indexOf(connectionTransition)
30                                     transition.connections.splice(
31                                         indexConection, 1)
32                                 }
33                             }
34                         }
35                     }
36                 }
37             }
38             for (var arc of arrayArcs) {
39                 index = arrayArcs.indexOf(arc)
40                 if (arcIdPlace == arc.id) {
41                     arrayArcs.splice(index, 1)
42                 }
43             }
44         }
45     }
46 }

```

```
33         }
34     }
35 }
36     index = arrayPlaces.indexOf(place)
37     arrayPlaces.splice(index, 1)
38     buttonPress = 0
39 }
40 }
41 }
42
43 }
```

Código 3.24 – Função *deleteElements()* simplificada para excluir um lugar

Na exclusão de lugares e transições, verifica-se quais arcos chegam ou saem desses elementos através da propriedade *connections*. Tendo as conexões, faz-se também a exclusão desses arcos. Ao deletar um lugar e os arcos que chegam e saem, por exemplo, também exclui-se na transição a menção, na propriedade *connections*, que há conexão com o arco excluído. O mesmo vale para quando se exclui uma transição.

Por fim, quando exclui-se um arco, de forma individual, verifica-se o elemento inicial e final, ou seja, onde o arco inicia e onde o arco finaliza. Tendo esses dois elementos, faz-se a exclusão da menção de conexão na propriedade *connections* de cada um desses elementos (Figura 34).

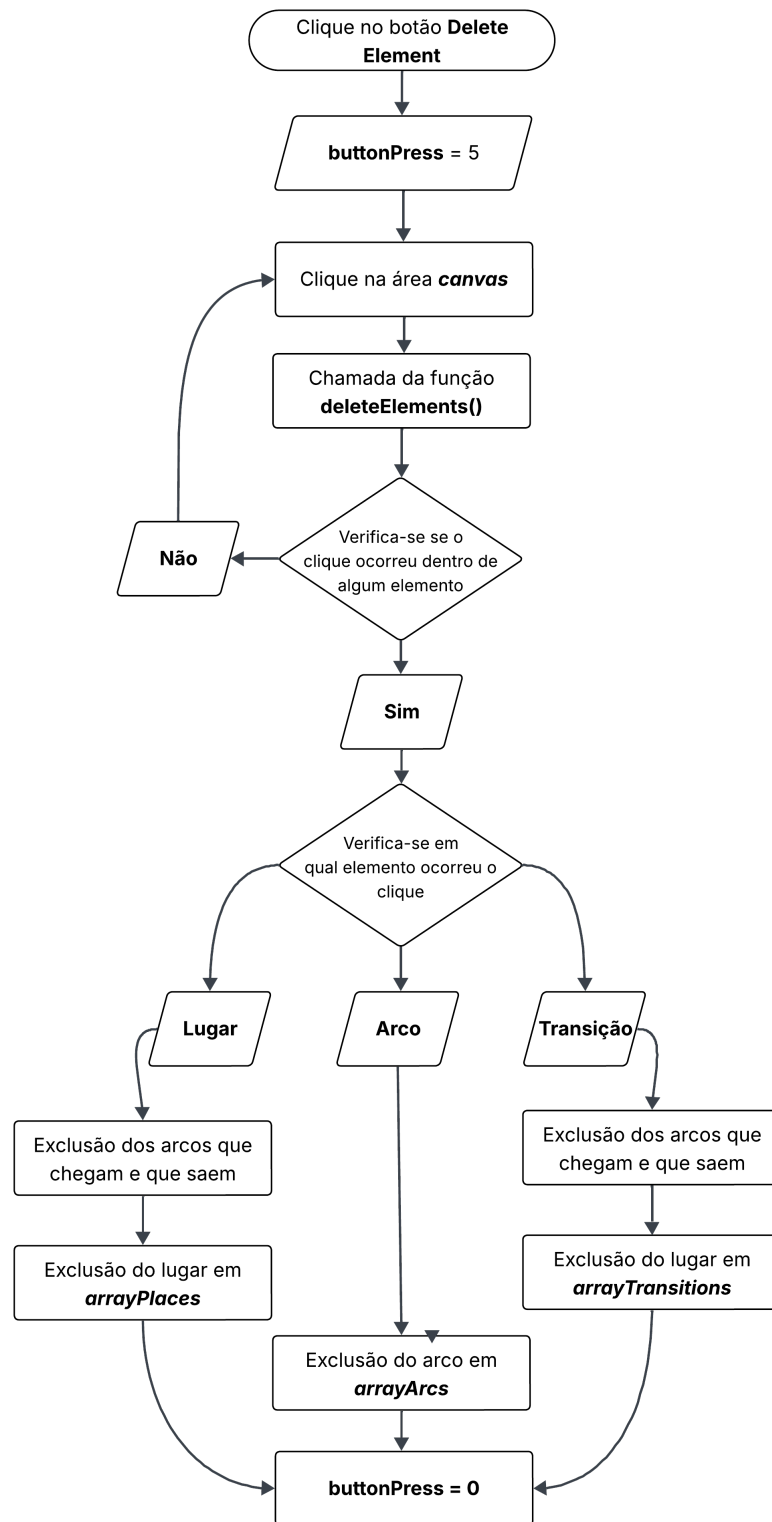


Figura 34 – Diagrama de fluxo para deletar um elemento

### 3.5.2 Deletando a rede por completo

A exclusão da rede por completo é uma funcionalidade de extrema importância. Uma vez que se deseja iniciar um novo projeto é necessário limpar a área de desenvolvimento das redes de Petri. A forma como a aplicação web funciona leva em consideração os valores das diferentes variáveis. Ou seja, a rede de Petri, nada mais é, que a interpretação das várias variáveis dentro do código. Inicialmente, quando não se tem nenhum elemento da rede de Petri, as variáveis são todas nulas. Conforme os elementos vão sendo criados, as variáveis vão recebendo valores, e esses valores vão sendo interpretados ao longo de todo o código. Com a exclusão da rede como um todo, se deseja voltar ao estado inicial, em que todas as variáveis são nulas. Dessa forma, para excluir a rede por completo, basta limpar as variáveis, atribuindo valores vazios, zeros e nulos.

```
1 function deleteNet() {  
2     localStorage.clear();  
3     arrayPlaces = [];  
4     arrayTransitions = [];  
5     arrayArcs = [];  
6     buttonPress = 0  
7     nPlaces = 0;  
8     nTransitions = 0;  
9     nArcs = 0;  
10    drawArc = false;  
11 }
```

Código 3.25 – Função *deleteNet()*

A função *deleteNet()* retorna todas as variáveis, que compõem a rede de Petri, para seu valor inicial, zero ou vazio. Além disso, ela limpa o *localStorage* 3.6.1, eliminando os dados salvos na memória do navegador.

Entretanto, para executar a função *deleteNet()*, é necessário que o usuário confirme tal solicitação, visto que, excluir toda a rede é uma operação extrema, em que se excluirá todos os dados referentes a rede de Petri que está sendo desenvolvida até o momento. Para isso, no momento em que o usuário faz o clique no botão **Delete Net**, uma caixa de confirmação aparece, pedindo ao usuário para confirmar a ação de exclusão da rede, ou para cancelar a solicitação (Figura 35).

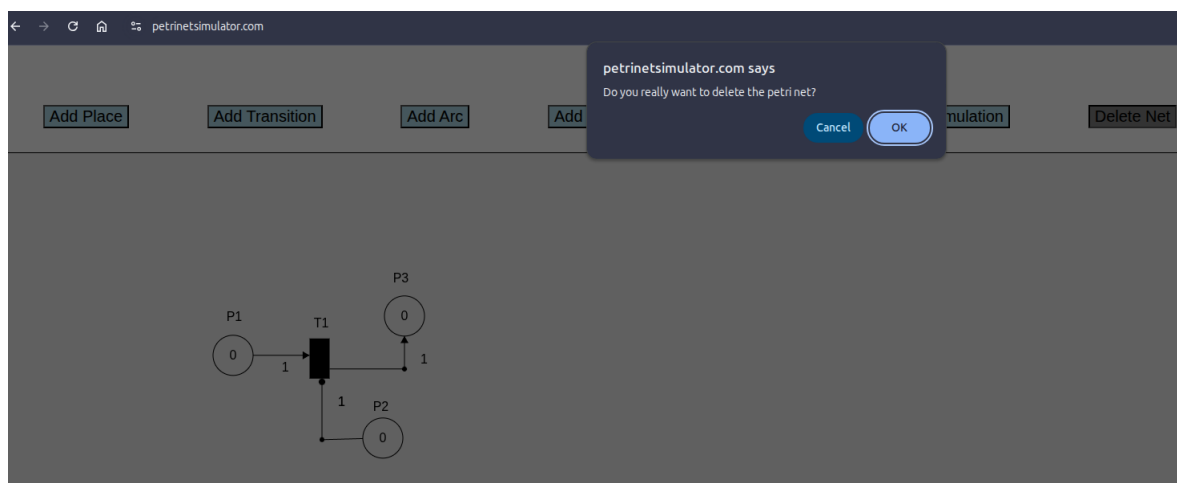


Figura 35 – Caixa de confirmação para exclusão da rede por completo

```

1 document.getElementById('buttonDeleteNet').addEventListener('click',
2     function() {
3         var confirmation = confirm("Do you really want to delete the petri net?");
4         if (confirmation) {
5             deleteNet();
6         } else {
7             buttonPress = 0;
8         }
9     });

```

Código 3.26 – Código para caixa de confirmação de exclusão da rede por completo

Após a confirmação, por parte do usuário, faz-se a exclusão da rede por completo (Figura 36).

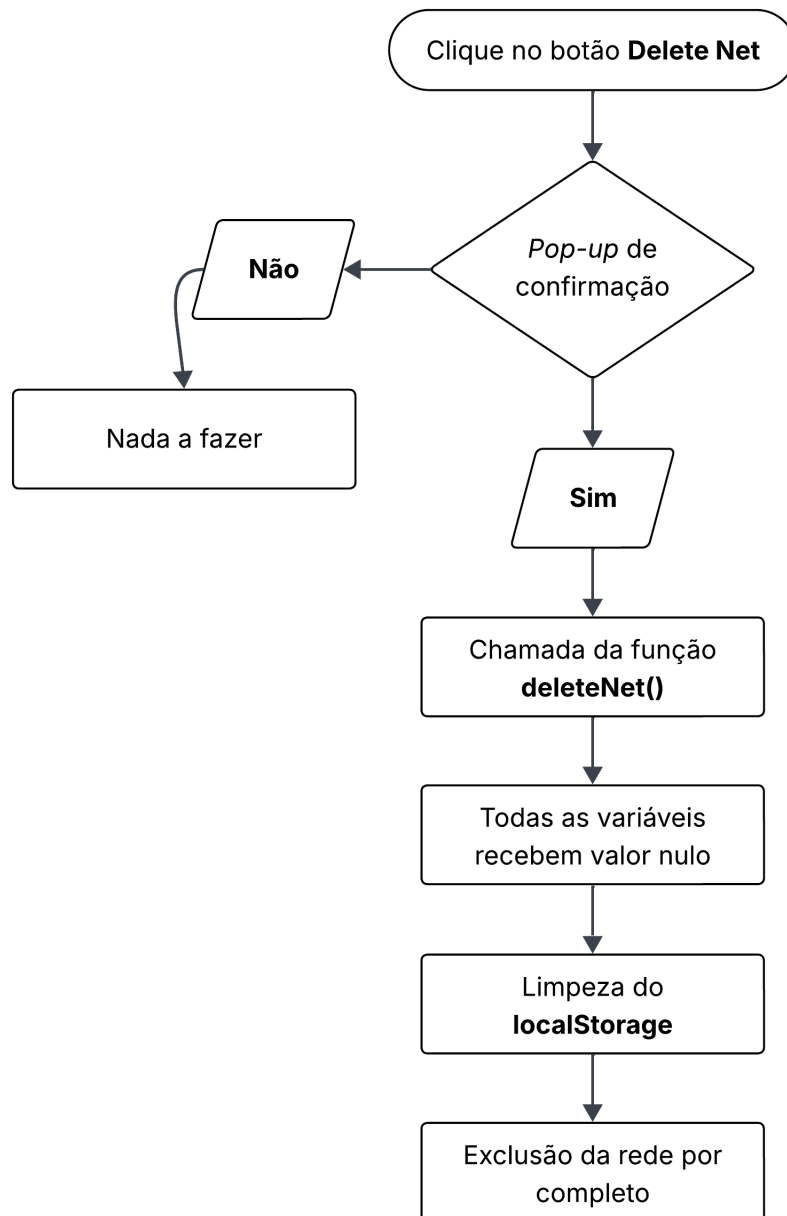


Figura 36 – Diagrama de fluxo para deletar a rede por completo

### 3.6 Salvando e carregando a rede

Com a rede de Petri já construída, torna-se essencial disponibilizar mecanismos que permitam seu salvamento e posterior carregamento, garantindo assim a persistência dos dados e a continuidade do trabalho do usuário. Na aplicação web desenvolvida, essas funcionalidades foram implementadas por meio da exportação e importação de arquivos no formato **JSON**, o que possibilita a portabilidade da rede entre diferentes dispositivos ou sessões. Adicionalmente, a aplicação realiza o salvamento automático no *localStorage* do navegador, permitindo a recuperação da rede de Petri mesmo após o fechamento ou recarregamento da página, evitando perdas acidentais de progresso.

Como citado em capítulos anteriores, a rede de Petri, nada mais é, que a interpretação das várias variáveis ao longo de todo o código. Dessa forma, para que ocorra o salvamento da rede de Petri, é necessário persistir os dados dessas variáveis de maneira simples e portátil. Com isso, um arquivo *.json*, contendo todos os dados necessários para a replicação da rede de Petri é exportado sempre que ocorre uma ação de salvamento, através do botão **Save Net**. Para o carregamento, é feita uma importação (Figura 37), com o botão **Load Net**, do arquivo *.json*. O formato **JSON** é leve e portátil, facilitando o compartilhamento da rede de Petri entre os vários usuários.

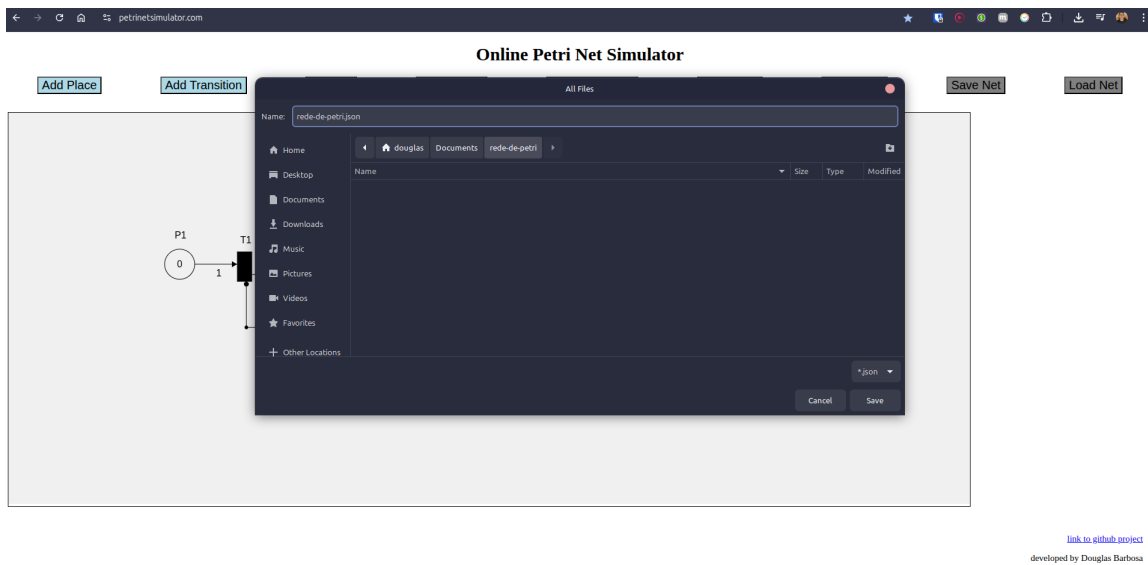


Figura 37 – Tela para exportação da rede de Petri

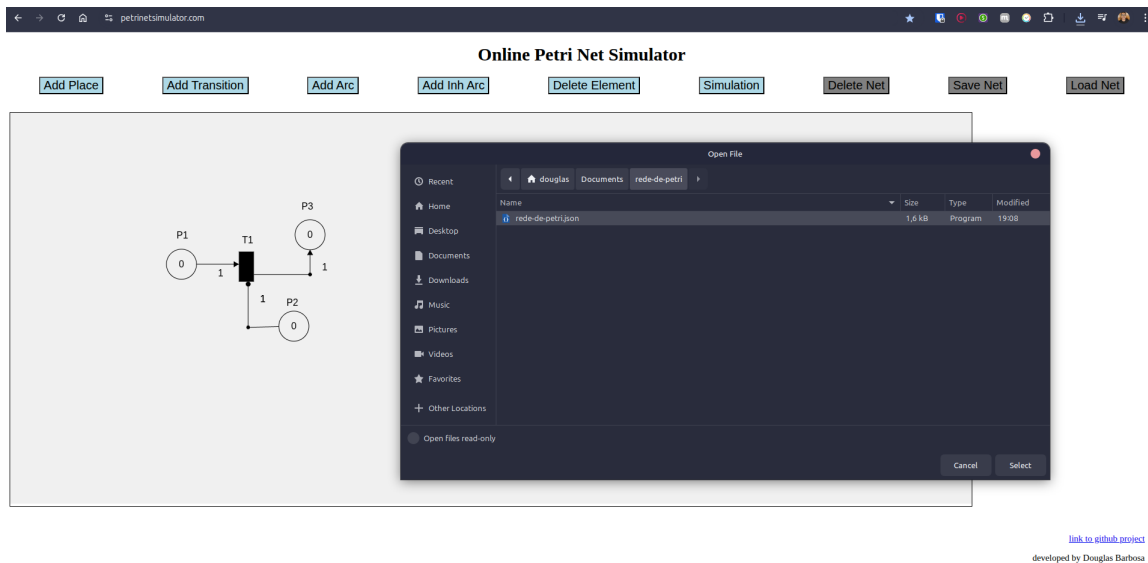


Figura 38 – Tela para importação da rede de Petri

Para a exportação (Figura 38), após o clique do botão **Save Net**, ocorre a chamada da função `saveJSON()`. Ela chama outra função, `saveVariables()`, que salva as variáveis.

Após, ocorre a exportação dos dados no arquivo *.json*

```

1 function saveVariables() {
2     variables = {
3         places: arrayPlaces,
4         transitions: arrayTransitions,
5         arcs: arrayArcs,
6         nPlaces: nPlaces,
7         nTransitions: nTransitions,
8         nArcs: nArcs,
9     };
10    return variables;
11 }
12
13 function saveJSON() {
14     variables = saveVariables();
15     const dataStr = JSON.stringify(variables);
16     const blob = new Blob([dataStr], { type: "application/json" });
17     const url = URL.createObjectURL(blob);
18     const a = document.createElement("a");
19     a.href = url;
20     a.download = "data.json";
21     document.body.appendChild(a);
22     a.click();
23     document.body.removeChild(a);
24 }
25
26 document.getElementById("buttonSaveNet").addEventListener("click", saveJSON
    );
27 document.getElementById("buttonLoadNet").addEventListener("click", () => {
    document.getElementById("fileInput").click();});

```

Código 3.27 – Código para exportação da rede num arquivo *.json*

Para a importação, após o clique do botão *Load Net*, ocorre a chamada da função *loadJSON()*. Ela chama outra função, *loadVariables()*, que carrega as variáveis. Após, ocorre a importação dos dados do arquivo *.json*

```

1 function loadVariables(data) {
2     arrayPlaces = data.places;
3     arrayTransitions = data.transitions;
4     arrayArcs = data.arcs;
5     nPlaces = data.nPlaces;
6     nTransitions = data.nTransitions;
7     nArcs = data.nArcs;
8 }
9
10 function loadJSON(event) {
11     const file = event.target.files[0];

```

```

12     const reader = new FileReader();
13     reader.onload = function(e) {
14         const data = JSON.parse(e.target.result);
15         loadVariables(data);
16     };
17     reader.readAsText(file);
18 }
19
20 document.getElementById("fileInput").addEventListener("change", loadJSON);

```

Código 3.28 – Código para importação da rede num arquivo *.json*

### 3.6.1 localStorage

Além da exportação e importação de arquivos *.json*, há também o salvamento através do *localStorage*. O *localStorage* é uma funcionalidade nativa dos navegadores modernos que permite o armazenamento de dados localmente no dispositivo do usuário, de forma persistente e sem necessidade de conexão com o servidor [MDN Web Docs \(2024e\)](#).

```

1 window.addEventListener('beforeunload', () => {
2     variables = JSON.stringify(saveVariables());
3     localStorage.setItem('data', variables);
4 });
5
6 window.addEventListener('load', () => {
7     data = JSON.parse(localStorage.getItem('data'));
8     if (data) {
9         loadVariables(data);
10    }
11 });

```

Código 3.29 – Código para persistência dos dados com *localStorage*

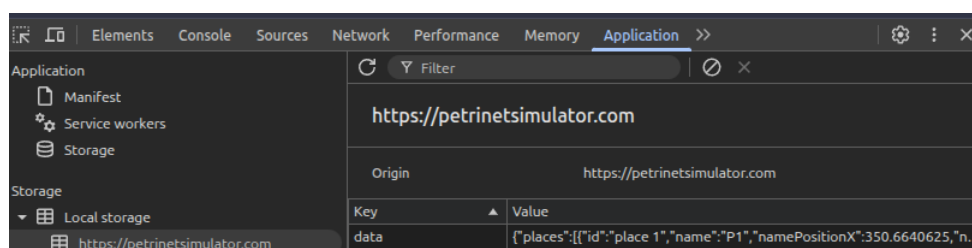


Figura 39 – Dados persistidos no *localStorage*

Na aplicação desenvolvida, o *localStorage* é utilizado como mecanismo complementar de persistência de dados. Sempre que a rede de Petri é modificada, o seu estado atual é convertido para uma representação em formato *JSON* e armazenado localmente. Dessa forma, ao retornar à aplicação, o usuário pode retomar seu trabalho a partir do ponto



```

25         }
26         else {
27             arc.isEnabled = false
28         }
29     }
30     arrayIsEnable.push(arc.isEnabled)
31 }
32 }
33 }
34 }
35 }
36 }
37 }
38 }
39 allTrue = arrayIsEnable.every(value => value === true);
40 if (allTrue) {
41     transition.isEnabled = true
42 }
43 else {
44     transition.isEnabled = false
45 }
46 }
47 }

```

Código 3.30 – Função *netSimulationEnables()*

Inicialmente, percorre-se todas as transições analisando quais arcos estão chegando. Essa etapa é feita observando a propriedade *connections* de cada transição. Analisando o peso do arco, em comparação com o número de marcações do lugar em que ele está saindo, determina-se se o arco está ativado ou não.

**Arcos normais:** número de marcações  $\geq$  peso do arco;

**Arcos inibidores:** número de marcações  $<$  peso do arco.

Após cada verificação de arco, o resultado é armazenado em *arrayIsEnable*. Caso todas as verificações sejam verdadeiras, a propriedade *isEnabled* da transição é alterada para *true*, caso contrário, como *false*.

A segunda função, denominada *netSimulationMove()*, faz a movimentação das marcações, conforme o usuário clica na transição que está ativada. A função é chamada sempre que ocorre o evento *mousedown* e a variável *simulation* é definida como *true*, o que ocorre sempre que o botão *Simulation* é pressionado.

```

1 function buttonNetSimulation() {
2     cleanVariables()

```

```

3   if (!simulation) {
4       buttonPress = 6
5       simulation = true
6   }
7   else if (simulation) {
8       buttonPress = 0
9       simulation = false
10  }
11 }
12 canvas.addEventListener('mousedown', (event) => {
13     const rect = canvas.getBoundingClientRect();
14     const mouseX = event.clientX - rect.left;
15     const mouseY = event.clientY - rect.top;
16     if (simulation) {
17         netSimulationMove(mouseX, mouseY)
18     }
19 })

```

Código 3.31 – Código para ativação da simulação

Tendo a simulação ativada, o usuário deve fazer o clique nas transições que deseja, simulando o comportamento da rede e movimentando as marcações do lugar de origem para o lugar de destino. A função *netSimulationMove()* executa duas ações:

1. subtrair do lugar de origem o número de marcações com base no peso do arco que sai;
2. adicionar ao lugar de destino o número de marcações com base no peso do arco que chega.

```

1 function netSimulationMove(mouseX, mouseY) {
2     for (var transition of arrayTransitions) {
3         isInsideTransition = insideTransition(mouseX, mouseY, transition.
4             posX, transition.posY)
5         if (isInsideTransition && transition.isEnabled) {
6             for (var connection of transition.connections) {
7                 var point = connection.substring(0, connection.indexOf('□')
8                     )
9                 if (point == "Start") {
10                    var arcId = `${connection.substring(connection.indexOf(
11                        '□') + 1)}`
12                    for (var arc of arrayArcs) {
13                        if (arc.id == arcId) {
14                            placeEnd = arc.endPositionArc[0][2]
15                            for (var place of arrayPlaces) {
16                                if (place.id == placeEnd && arc.type == "
17                                    normal") {

```

```

14         place.nTokens = place.nTokens + arc.
15             weight
16     }
17 }
18 }
19 }
20 }
21 }
22 if (isInsideTransition && transition.isEnabled) {
23     for (var connection of transition.connections) {
24         var point = connection.substring(0, connection.indexOf('␣')
25             )
26         if (point == "Finish") {
27             var arcId = `${connection.substring(connection.indexOf(
28                 '␣') + 1)}`
29             for (var arc of arrayArcs) {
30                 if (arc.id == arcId) {
31                     placeStart = arc.startingPositionArc[0][2]
32                     for (var place of arrayPlaces) {
33                         if (place.id == placeStart && arc.type == "
34                             normal") {
35                             place.nTokens = place.nTokens - arc.
36                                 weight
37                         }
38                     }
39                 }
40             }
41         }
42     }
43 }

```

Código 3.32 – Função *netSimulationMove()*

O primeiro passo da função verifica se o clique ocorreu dentro de alguma transição e se ela está ativada. Caso sim, as duas ações ocorrem. A primeira subtrai do lugar de origem o valor correspondente ao peso do arco que está saindo. A segunda soma ao lugar de destino o valor correspondente ao peso de arco que está chegando. Também, é necessário que os arcos para essas ações sejam do tipo normal. O peso dos arcos inibidores não interfere na subtração ou adição de marcações, apenas na ativação dos arcos.

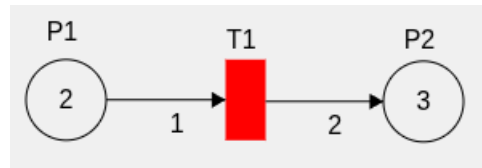


Figura 40 – Movimentação das marcações - Parte 1

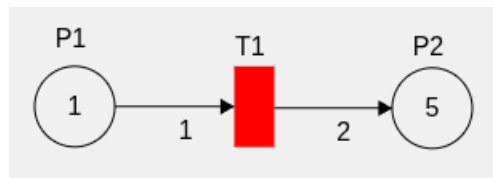


Figura 41 – Movimentação das marcações - Parte 2

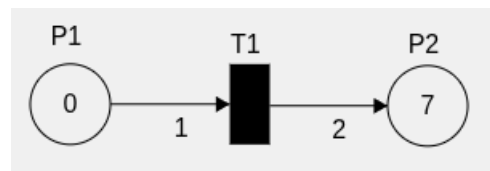


Figura 42 – Movimentação das marcações - Parte 3

Através da função *netSimulationMove()* simula-se o comportamento da rede de Petri.

### 3.8 Publicação do projeto online

A publicação do projeto online garante que qualquer usuário com acesso a internet consiga acessar a aplicação web desenvolvida através de um navegador. Com o objetivo de tornar o simulador de redes de Petri acessível, de forma ampla e gratuita, optou-se por realizar sua publicação como uma aplicação web estática, utilizando ferramentas modernas de desenvolvimento e hospedagem. O projeto, desenvolvido integralmente com tecnologias de *frontend*, HTML, CSS e Javascript, não requer *back-end* ou banco de dados, tornando-o ideal para ser hospedado em plataformas que oferecem suporte a sites estáticos.

Para o controle de versão e o gerenciamento do código-fonte, utilizou-se a plataforma Github, sob *MIT license*, amplamente reconhecida na área de desenvolvimento de software por oferecer hospedagem de repositórios baseados no sistema de controle de versões Git. O código-fonte do simulador encontra-se hospedado em um repositório público, o que promove a transparência do desenvolvimento e facilita eventuais colaborações futuras.

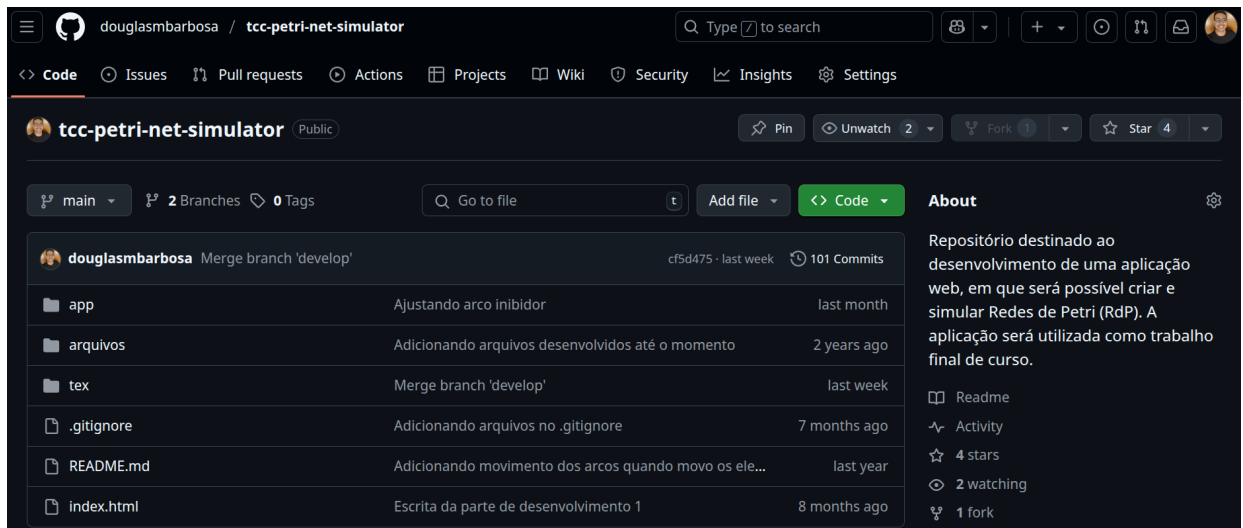


Figura 43 – Repositório Github. Fonte: [github.com/douglasbarbosa/tcc-petri-net-simulator](https://github.com/douglasbarbosa/tcc-petri-net-simulator)

A publicação online e o processo de entrega contínua foram realizados por meio da ferramenta Netlify, uma plataforma que fornece hospedagem gratuita para aplicações *frontend*. A Netlify oferece integração nativa com o GitHub, permitindo que cada modificação realizada na *branch main* do repositório dispare automaticamente um novo processo de *build* e *deploy* do projeto. Ou seja, sempre que ocorre uma alteração no repositório, faz-se a subida dessas modificações automaticamente para o usuário final. Essa integração contínua garante que a versão publicada do simulador esteja sempre sincronizada com a última versão do código.

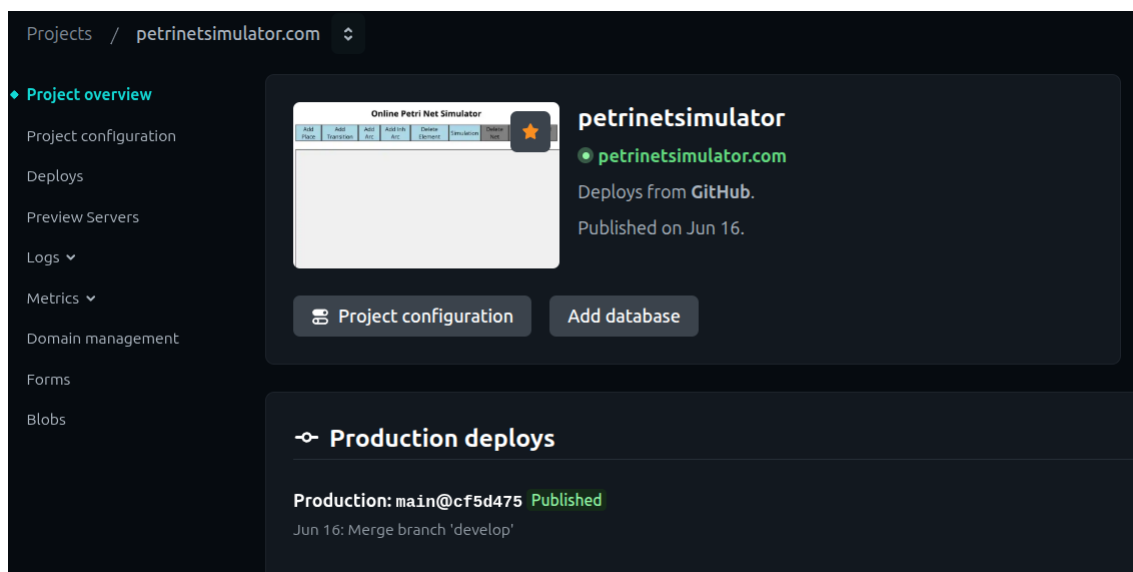


Figura 44 – Projeto criado na plataforma Netlify

Para a configuração do projeto na plataforma Netlify, optou-se pela utilização de um domínio personalizado. O domínio [petrinetsimulator.com](https://petrinetsimulator.com) foi adquirido na plataforma

Hostinger para a publicação do projeto online. Após a compra do domínio, registrou-se o mesmo na Netlify, juntamente com a integração com o Github.

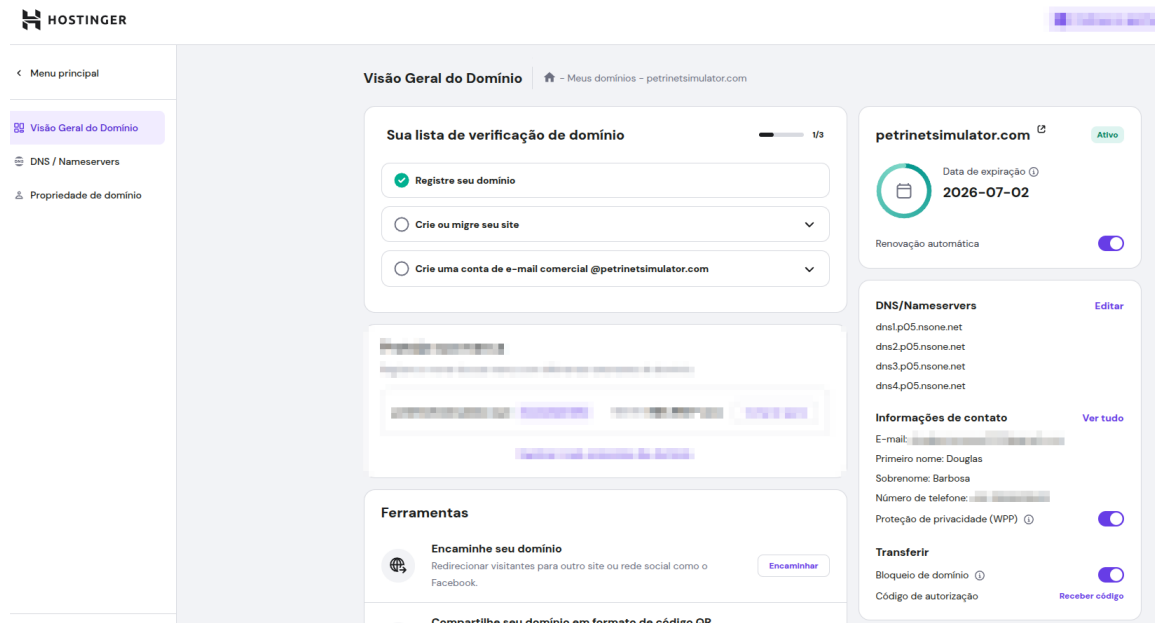


Figura 45 – Domínio personalizado na plataforma Hostinger

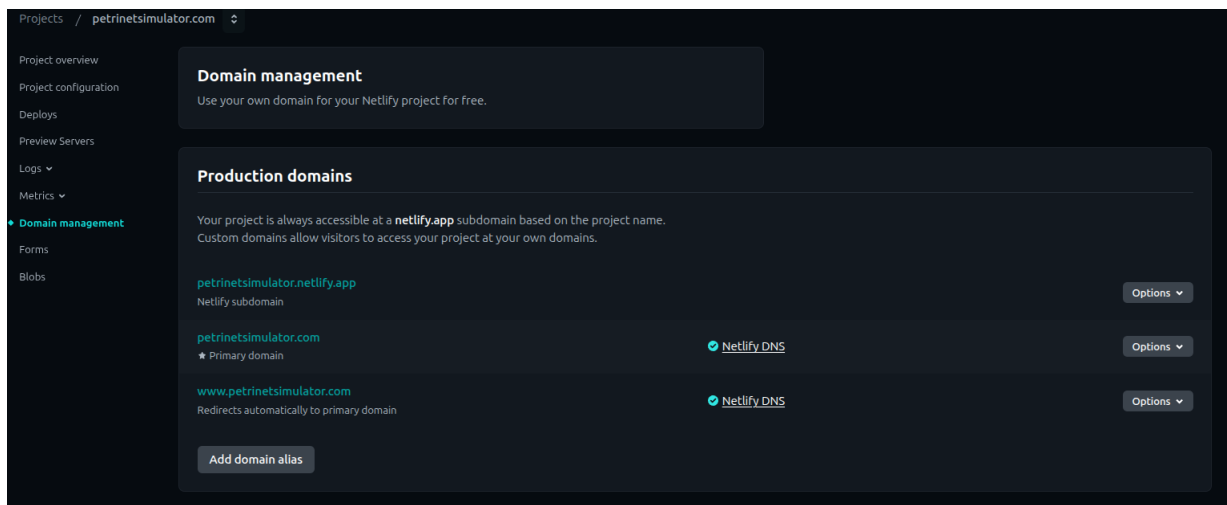


Figura 46 – Domínio personalizado configurado na plataforma Netlify

Além dessas configurações, a plataforma Netlify fornece o certificado SSL/TLS, garantindo a utilização do protocolo HTTPS, fornecendo um acesso seguro para os usuários da aplicação web.

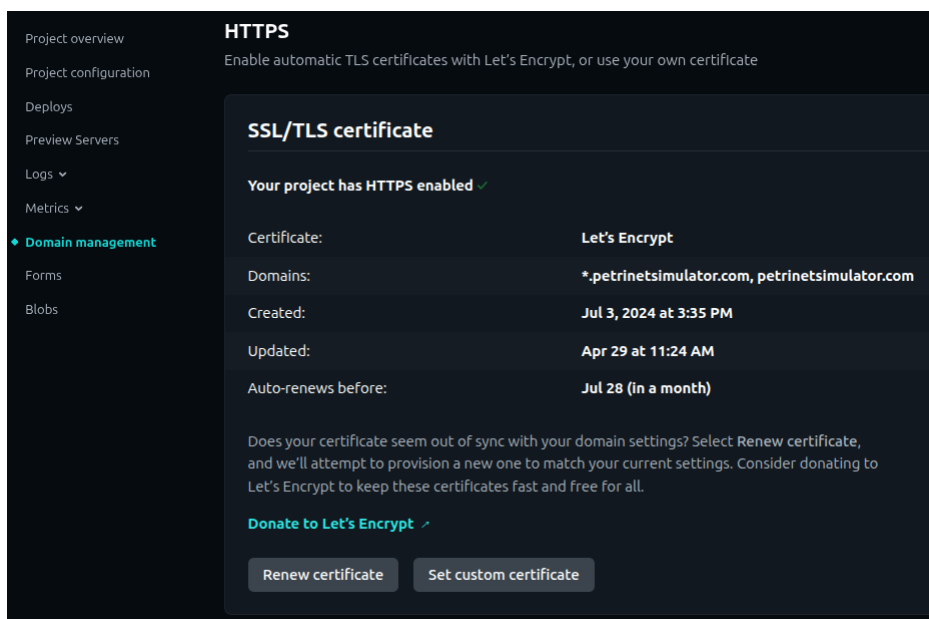


Figura 47 – Certificado SSL/TLS configurado na plataforma Netlify

A integração entre as ferramentas adotadas e as práticas empregadas ao longo do desenvolvimento contribuíram para a disponibilização eficiente, segura e acessível, de forma online, ao simulador de redes de Petri.

## 4 Considerações Finais

O desenvolvimento de um simulador web para redes de Petri representa uma importante contribuição no contexto do ensino e da experimentação prática com modelagem de sistemas a eventos discretos. A aplicação apresentada demonstrou-se eficaz na construção e simulação de redes de Petri simples, utilizando-se apenas de tecnologias de *frontend*, viabilizando seu uso diretamente em navegadores, sem a necessidade de instalação de software adicional.

Apesar dos avanços alcançados com o presente trabalho, ainda há diversas possibilidades de aprimoramento e expansão da aplicação. Entre os principais desenvolvimentos futuros, destaca-se a possibilidade de incorporar funcionalidades mais avançadas ao simulador, como o suporte a redes de Petri temporizadas, coloridas e estocásticas, o que permitiria a modelagem de sistemas mais complexos e com variabilidade temporal e probabilística.

Conjuntamente, melhorias na interface gráfica do usuário são desejáveis, visto que, a aplicação web desenvolvida é simples no aspecto visual. Com melhorias na interface, o usuário poderia ter uma experiência mais intuitiva e eficiente. Essa etapa inclui a adição de elementos explicativos, como textos orientativos que auxiliem o usuário a entender quais ações estão disponíveis ou devem ser realizadas em determinados momentos da simulação. Também, tornar os elementos HTML mais sofisticados a nível de *design*, como os botões e a própria área de desenvolvimento das redes de Petri e, dessa forma, trazendo maior beleza para a interface.

Outra perspectiva relevante para a evolução da ferramenta é a implementação de um sistema de autenticação de usuários, por meio da criação de uma tela de *login* integrada a um banco de dados. Tal funcionalidade permitiria o armazenamento personalizado das redes de Petri criadas pelos usuários, viabilizando a continuidade do trabalho em sessões futuras e incentivando o uso da ferramenta em ambientes educacionais colaborativos. Com o banco de dados, o usuário poderia criar uma conta na ferramenta, tornando possível o gerenciamento de seus projetos em qualquer navegador. Tal funcionalidade permitiria maior mobilidade e segurança para a preservação dos projetos.

Portanto, embora a versão atual do simulador já apresente uma base sólida para a criação e execução de redes de Petri, sua arquitetura e escopo permanecem abertos à expansão, o que garante um vasto campo para pesquisas e melhorias contínuas. Espera-se que este trabalho possa servir de ponto de partida para futuras iniciativas voltadas ao aprimoramento de ferramentas educacionais baseadas na web, aplicadas à modelagem de sistemas a eventos discretos.

# Referências

- CASSANDRAS, Christos G.; LAFORTUNE, Stéphane. *Introduction to Discrete Event Systems*. 2. ed. New York: Springer, 2008. ISBN 978-0-387-33332-8. DOI: [10.1007/978-0-387-68612-7](https://doi.org/10.1007/978-0-387-68612-7). Citado 1 vez nas páginas 16–18.
- COUTINHO, Luciano. A terceira revolução industrial e tecnológica. As grandes tendências das mudanças. *Economia e sociedade*, Universidade Estadual de Campinas (UNICAMP), Instituto de Economia, v. 1, n. 1, p. 69, 1992. Disponível em: <https://periodicos.sbu.unicamp.br/ojs/index.php/ecos/article/view/8643306>. Citado 1 vez na página 16.
- DINGLE, N. J.; KNOTTENBELT, W. J.; SUTO, T. PIPE2: A Tool for the Performance Evaluation of Generalised Stochastic Petri Nets. *ACM SIGMETRICS Performance Evaluation Review*, v. 36, n. 4, p. 34–39, mar. 2009. (Special Issue on Tools for Computer Performance Modelling and Reliability Analysis). Disponível em: <https://www.doc.ic.ac.uk/~wjk/publications/dingle-knottenbelt-suto-per-2009.pdf>. Citado 1 vez na página 26.
- EBAC - ESCOLA BRITÂNICA DE ARTES CRIATIVAS E TECNOLOGIA. *Diagrama de fluxo de SEO*. Acesso em: 16 jun. 2023. 2022. Disponível em: <https://ebaonline.com.br/blog/diagrama-de-fluxo-seo>. Citado 0 vez na página 14.
- FRANCÊS, Carlos Renato Lisboa. Introdução às redes de petri. *Laboratório de Computação Aplicada, Universidade Federal do Pará*, 2003. Disponível em: [https://www.dca.ufrn.br/~affonso/FTP/DCA409/redes\\_de\\_petri.pdf](https://www.dca.ufrn.br/~affonso/FTP/DCA409/redes_de_petri.pdf). Citado 1 vez na página 21.
- GIT. *Git Documentation*. Git. Disponível em: <https://git-scm.com/docs/git>. Acesso em: 22 mar. 2024. Citado 1 vez na página 25.
- JAGUSCH, Adrian. *APO - Accessible Petri Net Operations*. 2023. <https://github.com/stromhalm/apo>. Citado 1 vez na página 28.
- KADRI, Farid; LALLEMENT, Patrick; CHATELET, Eric. The Quantitative Risk Assessment of domino effect on Industrial Plants Using Colored Stochastic Petri Nets. In. Disponível em: [https://www.researchgate.net/publication/236035686\\_The\\_Quantitative\\_Risk\\_Assessment\\_of\\_domino\\_effect\\_on\\_Industrial\\_Plants\\_Using\\_Colored\\_Stochastic\\_Petri\\_Nets](https://www.researchgate.net/publication/236035686_The_Quantitative_Risk_Assessment_of_domino_effect_on_Industrial_Plants_Using_Colored_Stochastic_Petri_Nets). Citado 1 vez na página 23.
- LIMA, Evangivaldo A.; LÜDERS, Ricardo; KÜNZLE, Luis Allan. Uma abordagem intervalar para a caracterização de intervalos de disparo em redes de Petri temporais. pt. *Controle & Automação*, Sociedade Brasileira de Automática, v. 19, n. 4, p. 379–394, dez. 2008. DOI: [10.1590/S0103-17592008000400002](https://doi.org/10.1590/S0103-17592008000400002). Disponível em: <https://www.scielo.br/j/ca/a/T4CZRxt4Lwd9RkNHgm5fnxQ/?lang=pt>. Citado 1 vez na página 19.

LIMA, John Wesley Soares de; FALCÃO, Taciana; ANDRADE, Ermeson. TryRdP: uma Ferramenta para o Aprendizado de Modelagem de Sistemas usando Redes de Petri. In: ANAIS do Simpósio Brasileiro de Educação em Computação. On-line: SBC, 2021. P. 362–370. DOI: [10.5753/educomp.2021.14504](https://doi.org/10.5753/educomp.2021.14504). Disponível em: <https://sol.sbc.org.br/index.php/educomp/article/view/14504>. Citado 1 vez na página 28.

LINS, Bernardo Felipe Estellita. A evolução da Internet: uma perspectiva histórica. *Cadernos Aslegis*, v. 48, p. 11–45, 2013. Citado 1 vez na página 12.

MACORATTI, José Carlos. *Verificando a relação de um ponto e uma circunferência*. 2014. [https://www.macoratti.net/14/05/c\\_vpc1.htm](https://www.macoratti.net/14/05/c_vpc1.htm). Acessado em 28 de maio de 2025. Disponível em: [https://www.macoratti.net/14/05/c\\_vpc1.htm](https://www.macoratti.net/14/05/c_vpc1.htm). Citado 1 vez na página 54.

MANZONI, Raymond. *How to check if a point is inside a rectangle?* 2013. Mathematics Stack Exchange. URL:<https://math.stackexchange.com/q/190373> (version: 2023-02-14). eprint: <https://math.stackexchange.com/q/190373>. Disponível em: <https://math.stackexchange.com/q/190373>. Citado 1 vez na página 55.

MDN WEB DOCS. *CSS*. MDN Web Docs. Disponível em: <https://developer.mozilla.org/pt-BR/docs/Web/CSS>. Acesso em: 22 mar. 2024. Citado 2 vezes nas páginas 24, 25.

MDN WEB DOCS. *Element: mousedown event - Web APIs | MDN*. 2024. Accessed: 2025-05-22. Disponível em: [https://developer.mozilla.org/en-US/docs/Web/API/Element/mousedown\\_event](https://developer.mozilla.org/en-US/docs/Web/API/Element/mousedown_event). Citado 1 vez na página 33.

MDN WEB DOCS. *Element: mousedown event - Web APIs | MDN*. 2024. Accessed: 2025-05-22. Disponível em: [https://developer.mozilla.org/en-US/docs/Web/API/Element/mouseup\\_event](https://developer.mozilla.org/en-US/docs/Web/API/Element/mouseup_event). Citado 1 vez na página 34.

MDN WEB DOCS. *Element: mousemove event - Web APIs | MDN*. 2024. Accessed: 2025-05-22. Disponível em: [https://developer.mozilla.org/en-US/docs/Web/API/Element/mousemove\\_event](https://developer.mozilla.org/en-US/docs/Web/API/Element/mousemove_event). Citado 1 vez na página 32.

MDN WEB DOCS. *Element: Window.localStorage - Web APIs | MDN*. 2024. Accessed: 2025-05-22. Disponível em: <https://developer.mozilla.org/en-US/docs/Web/API/Window/localStorage>. Citado 1 vez na página 65.

MDN WEB DOCS. *HTML: Linguagem de Marcação de Hipertexto*. MDN Web Docs. Disponível em: <https://developer.mozilla.org/pt-BR/docs/Web/HTML>. Acesso em: 22 mar. 2024. Citado 1 vez na página 24.

PENHA, Dulcinéia; FREITAS, Henrique; MARTINS, Carlos. Modelagem de Sistemas Computacionais usando Redes de Petri: aplicação em projeto, análise e avaliação. In: nov. 2004. Disponível em: [https://www.researchgate.net/publication/228538729\\_Modelagem\\_de\\_Sistemas\\_Computacionais\\_usando\\_Redde\\_Petri\\_aplicacao\\_em\\_projeto\\_analise\\_e\\_avaliacao](https://www.researchgate.net/publication/228538729_Modelagem_de_Sistemas_Computacionais_usando_Redde_Petri_aplicacao_em_projeto_analise_e_avaliacao). Citado 1 vez na página 22.

PETRI, Carl. *Kommunikation mit Automaten*. 1962. Tese (Doutorado) – TU Darmstadt. Citado 2 vezes nas páginas 12, 16.

TATTERSALL, Sarah; CONTRIBUTORS, PIPE. *PIPE: Platform Independent Petri Net Editor*. 2015. <https://github.com/sarahtattersall/PIPE>. Citado 1 vez na página 26.